

منشاء آنکلاوهای میکروگرانولار در توده گرانیتوئیدی کوهدم، شمال شرق اردستان

علی کنعانیان^{*}، فاطمه سرجوقیان^{*} و جمشید احمدیان^{**}

^{*}گروه زمین شناسی دانشگاه تهران

^{**}دانشگاه پیام نور مرکز اصفهان

چکیده

توده گرانودیوریتی کوهدم واقع در شمال شرق اردستان حاوی آنکلاوهای میکروگرانولار کروی و به ندرت بیضوی با ترکیب مونزودیوریت، مونزودیوریت کوارتزدار و دیوریت کوارتزدار است. قطر این آنکلاوها از حدود چند میلی متر تا ۳۰ سانتی متر در تغییر است. اندازه کانی های تشکیل دهنده آنکلاوها در قشر خارجی، ریزتر از مرکز آنکلاو است. دانه ریز بودن آنکلاوها نشانه سرد شدن سریع مذاب سازنده آن در هنگام ورود به داخل ماقمای گرانیتوئیدی میزبان است. حضور آنکلاوهای میکروگرانولار به همراه شواهدی از حضور بافت های غیر تعادلی نظیر فنورکریست فلدرسپار با بافت های پوئی کیلیتیک و آنتی راپاکی وی، کوارتز های مدور و چشمی شکل که توسط کانی های کوچک دمای بالاتر مانند پلازیوکلاز، بیوتیت و آمفیبول به طور زونه احاطه شده اند، خورده گی و تحلیل رفتگی پلازیوکلازها، حضور لخته های مافیک، آپاتیت های سوزنی، تیغه های پلازیوکلاز کوچک درون پلازیوکلاز های بزرگ تر و مرز مضرس، کنگره ای و زائد هدار آنکلاو، همگی آمیختگی ماقمایی را تأیید می کنند. بر اساس نتایج آنالیز مایکروربروب، ترکیب پلازیوکلاز در گرانودیوریت ها از الیگوکلاز تا آندزین و در آنکلاوها از آندزین تا لابرادوریت متغیر است و غالباً زونینگ عادی و در برخی از موارد زونینگ نوسانی نشان می دهد که مؤیدی بر آمیختگی ماقمایی است. آنکلاوها و سنگ های میزانشان از لحظه ژئوشیمیابی نیز با یکدیگر تفاوت های قابل توجهی نشان می دهد به این صورت که آنکلاوها غنی از سدیم هستند در صورتی که گرانودیوریت ها از پتاسیم غنی می باشند. علاوه بر این آنکلاوها نسبت به گرانودیوریت ها از عناصر LREE و HREE و Ti غنی شده اند، لذا به نظر می رسد این دو گروه سنگی شاید از دو ماقمای مختلف منشا گرفته و در اثر فرآیند آمیختگی ماقمایی در جوار یکدیگر قرار گرفته باشند.

واژه های کلیدی: آمیختگی ماقمایی، آنکلاو میکروگرانولار، توده نفوذی کوهدم، اردستان.

Origin of Microgranular Enclaves in Kuh-e Dom Granodiorite Body, NE Ardestan

***A. Kananian, *F. Sarjoughian, ** J. Ahmadian**

*** Geology Department, The University of Tehran**

**** Geology Department, University of Payam-e Noor, Isfahan**

Abstract

Kuh-e Dom granodiorite intrusion, located at the Northeastern of Ardestan, includes abundant of rounded and rarely ellipsoid microgranular enclaves composed of quartz diorite, monzodiorite and quartz monzodiorite. The diameters of the enclaves range from a few millimeters to 30 centimeters. These enclaves are very fine-grained and show chilled margin so that the size of their crystal gradually decreases from center to the margin. The chilled margin is an evidence of rapid magma cooling once the enclaves were surrounded by host felsic magma. The occurrence of mafic microgranular enclaves within the felsic rocks accompany with the disequilibrium textures including: 1) poikilitic and Antirapakivi texture at K-feldspar megacrysts, 2) ocelli quartz rimmed by a zone of fine-grained aggregates of early formed minerals, 3) rounded and corroded plagioclase, 4) mafic clots, 5) acicular apatite, 6) small lath-shaped plagioclase in large plagioclase, and 7) crenated and cuspatate contact in enclave-host rock which all indicate the mingling of two magmas. Based on microprobe data, the plagioclase crystals show a variable composition from oligoclase to andesine in granodiorite and from andesine to labradorite in enclaves. They have essentially normal zoning and occasionally indicate oscillatory zoning. The enclaves and their host rocks, geochemically, are different from each other and based on the fact that the first one is Na-rich whilst the other is K-rich. In addition, the enclaves display LREE and LILE depletion accompany with the HREE and Ti enrichment compared to their host granodiorites. Therefore, it seems that the enclaves and granodiorites might have been originated from two various magmas which were located adjacent to each other by magma mingling process.

Keywords: Magma mingling, Microgranular Enclaves, Kuh e-Dom intrusion, NE Ardestan.

طور موضعی به مونزوگرانیت و کوارتزمونزوونیت متمایل

مقدمه

می شود.

مقادیر کمی دیوریت، کوارتزدیوریت،
مونزو دیوریت و کوارتز مونزو دیوریت نیز سنگ های اصلی
را در حاشیه توده همراهی می کنند. در توده نفوذی مورد
نظر آنکلاوهای میکروگرانولار مافیک نسبتاً فراوان با
ترکیب مونزوونیت، مونزو دیوریت و مونزو دیوریت
کوارتزدار حضور دارند که از نظر اختصاصات

توده گرانودیوریتی کوهدم، بین طول های جغرافیایی
۵۲° تا ۵۴° شرقی و عرض های جغرافیایی
۳۳° تا ۳۴° شمالی، در فاصله ۱۱۰ کیلومتری
شمال شرق اردستان رخنمون دارد و از لحاظ تقسیمات
ساختاری در غرب زون ایران مرکزی واقع شده است.
این توده از لحاظ سنگ شناسی، بیشتر از گرانودیوریت
تشکیل شده است ولی در برخی نواحی ترکیب آن به

سپس تعداد ۹ نمونه از سنگ‌های سالم برای انجام آنالیز شیمیایی عناصر اصلی، کمیاب و نادر خاکی انتخاب شدند.

عناصر اصلی با روش XRF(WD) در آزمایشگاه ژئوشیمی Naruto ژاپن و عناصر کمیاب و نادر خاکی به روش ICP-MS در آزمایشگاه‌های ALS Chemex کانادا و Helva اسپانیا مورد آنالیز قرار گرفتند. به منظور بررسی خصوصیات شیمیایی کانی‌های فلدسپار، آمفیبول و بیوتیت تعداد ۱۰ مقطع نازک- صیقلی برای آنالیز مایکروپروب تهیه و به دانشگاه‌های Naruto ژاپن و Helva اسپانیا ارسال شد.

در دانشگاه Naruto ژاپن به کمک دستگاه الکترون مایکروپروب JXA-8800R مدل JEOL با ولتاژ شتاب دهنده ۱۵ کیلو ولت و شدت جریان ۱۵ نانوآمپر و زمان شمارش ۴۰ ثانیه و در دانشگاه Helva اسپانیا به کمک دستگاه الکترون مایکروپروب probe JXA-8200 super probe با ولتاژ شتاب دهنده ۱۵ کیلو ولت مورد آنالیز قرار گرفت که نتایج این آنالیزها در جداول ۱ تا ۵ قابل مشاهده است. در مرحله بعد با استفاده از نرم افزار Minpet مقادیر کاتیونی برای کانی‌های فلدسپار، آمفیبول و بیوتیت محاسبه شد و نتایج آن مورد تحلیل و پردازش قرار گرفت.

کانی‌شناسی و بافتی، شباهت‌ها و تفاوت‌هایی را با گرانیتوئیدهای میزبان نشان می‌دهند.

از آن جا که مطالعه آنکلاوهای در توده‌های گرانیتوئیدی می‌تواند اطلاعات ارزشمندی را در مورد ژنر و ماهیت سنگ منشاء، چگونگی تحول و تکامل ماقمای مولد توده‌های نفوذی و بررسی احتمال وقوع اختلاط ماقمایی در اختیار محققین قرار دهد.

در پژوهش حاضر سعی شده است با استناد به نتایج حاصل از مشاهده روابط صحرایی، خصوصیات پتروگرافی، شیمی کانی‌ها و ژئوشیمی آنکلاوهای سنگ‌های گرانیتوئیدی میزبان، ضمن تحقیق در مورد وجود یا عدم وجود ارتباط ژنتیکی بین گرانیتوئیدها و آنکلاوهای منشاء و نحوه تشکیل آنکلاوهای میکروگرانولار کوهدم نیز مورد بحث و بررسی قرار گیرد.

روش مطالعه

مطالعه آنکلاوهای میکروگرانولار توده نفوذی کوهدم در دو بخش صحرایی و آزمایشگاهی انجام شد. در بخش صحرایی با توجه به تغییرات سنگ‌شناسی و ویژگی‌های فیزیکی نظیر رنگ و ابعاد کانی‌های سازنده، تعداد ۱۲۰ نمونه از سنگ‌های نفوذی و آنکلاوها برداشت شد. شناسایی مشخصه‌های اصلی سنگ‌شناسی شامل خصوصیات بافتی و ترکیب کانی‌شناسی با تکیه بر روش‌های پتروگرافی و با استفاده از میکروسکوپ پلاریزان صورت گرفت.

جدول ۱). نتایج آنالیز ژئوشیمیایی توده گرانیتوئیدی و آنکلاوهای موجود به روش‌های XRF (عناصر اصلی بر حسب درصد وزنی) و ICP (عناصر نادر و نادر خاکی بر حسب PPm).

Sample	granitoid						Enclave		
	۱۱	۱۳۶	۱۴۸	۱/۲	۱۹۷	۲۱۵	۱۳	۱۹۰	۱۹۱
SiO ₂	66.91	67.3	63.77	62.68	63.59	65.49	55.79	55.33	56.99
TiO ₂	0.5	0.32	0.55	0.61	0.47	0.48	0.89	0.99	0.95
Al ₂ O ₃	15.69	15.7	16.38	16.15	15.76	16	17.72	17.74	17.5
Fe ₂ O ₃ T	2.72	3.24	5.08	5.66	4.57	4.8	9.37	10.37	9.22
MnO	0.06	0.04	0.08	0.08	0.06	0.09	0.14	0.12	0.1
MgO	1.36	0.9	1.09	2.11	1.60	1.65	3.16	3.39	3.01
CaO	4.11	2.12	4.28	4.13	3.26	2.91	5.58	5.51	5.17
Na ₂ O	3.85	3.27	3.53	3.23	3.62	3.76	4.66	4.54	4.95
K ₂ O	4.64	6.23	4.52	6.13	3.81	4.71	2.47	1.76	1.46
P ₂ O ₅	0.15	0.09	0.19	0.19	0.15	0.15	0.19	0.2	0.21
Total	99.99	98.21	99.97	99.97	99.97	99.98	99.96	99.95	99.95
Ba	648	519	589	498.3	577	526.5	349.3	274	207.71
Rb	117	147.5	146	105.5	111	156.8	108.7	77.7	63.44
Sr	354	197.6	395	340.4	276	279.1	328.6	276	199.8
Ga	16.7	14.4	17.3	*	16.2	*	*	22.3	24.4
Li	0.5	0.5	0.5	*	3.6	*	*	0.5	0.24
Nb	15	19.9	17.2	16.16	13.9	12.93	23.32	31.5	26.71
Hf	4.9	4.6	4.8	*	4.9	*	*	5.2	3.22
Zr	160	161	171	187	179	171	116.2	190	107.35
Ti	2997	1918	3297	3657	281B	2878	5335	5935	5605
Y	18.5	17.9	19.1	25.3	16.2	22.7	28.3	36.2	27.94
Th	16.05	20.6	22.6	26.79	16.9	16.05	12.05	14.05	11.03
U	3	5.87	5.4	*	3.3	*	*	4.76	4.03
Cr	10	10	20	16.6	10	0	0	20	13.74
Ni	6	5	9	9.1	6	4	4.8	10	5.17
Cn	5.5	4.6	13.3	*	3.6	*	*	1R	18.44
V	82	40	98	*	69	*	*	186	155.42
Cu	E	5	27	*	11	*	*	14	5.35
Pb	E	10	12	9.1	10	10.1	6.5	23	30.86
Zn	25	23	40	*	46	*	*	82	40.26
Sn	3	3	3	*	2	*	*	5	3.31
W	14	*	24	*	7	*	*	7	2.86
Ta	1.2	2.1	1.3	*	1.2	*	*	2.1	4.9
Ce	2.02	4.41	7.41	*	3.27	*	*	5.01	2.62
La	21.4	35.3	37.2	*	27.7	*	*	15.1	20.13
Ce	45.5	61.4	47.3	55.6	46	39.4	32.1	34.4	48.84
Pr	5.27	6.2	6.94	*	5.16	*	*	4.89	5.54
Nd	19.2	20.1	20.0	*	17.4	*	*	20.9	21.03
Sm	3.94	3.28	4.48	*	3.28	*	*	5.85	5.07
Eu	0.98	0.76	1.17	*	0.96	*	*	1.24	1.18
Gd	3.58	3.66	4.34	*	3.27	*	*	5.66	5.22
Tb	0.65	0.52	0.62	*	0.49	*	*	1.05	0.93
Dy	3.44	3.23	3.48	*	3	*	*	6.86	5.29
Ho	0.62	0.6	0.58	*	0.57	*	*	1.28	1.26
Er	2.14	2.05	2.26	*	1.9	*	*	4.06	3.31
Tm	0.31	0.3	0.32	*	0.28	*	*	0.69	0.54
Yb	2.02	2.04	2.09	*	1.89	*	*	3.92	3.23
Lu	0.34	0.34	0.35	*	0.32	*	*	0.66	0.57

جدول ۲) نتایج آنالیز مایکروپرورب پلازیوکلازهای توده گرانیتوئیدی و آنکلاوهای موجود در آن بر حسب درصد وزنی.(محاسبه فرمول ساختاری بر اساس ۸ اکسیژن بنا شده است).

	granite	granite	granite	granite	granite	granodiorite	granodiorite	granodiorite	granodiorite
Sample Analysis	M6 2 core	M6 2 between	M6 2 rim	M6 4 core	M6 4 rim	F5 1 core	F5 1 rim	F5 2 core	F5 2 rim
SiO ₂	62.03%	60.64%	63.29%	56.45%	50.34%	57.73%	64.03%	57.63%	62.23%
TiO ₂	0	0	0	0	0.052	0	0	0	0.015
Al ₂ O ₃	14.02%	23.64%	23.16%	26.94%	23.32%	26.02%	27.12%	26.61%	23.40%
FeO	0.961	1.168	0.158	0.247	0.163	0.192	0.156	0.18	0.19
MnO	0.002	0.02	0.01	0	0.018	0	0.016	0.036	0
MgO	0.618	3.01	0.009	0.01	0.005	0	0	0.000	0
CaO	1.768	5.617	4.681	9.381	6.095	7.936	3.023	8.174	4.614
Na ₂ O	7.2	7.80	8.739	5.344	7.917	6.891	9.334	6.280	8.294
K ₂ O	3.320	3.667	0.664	0.290	0.629	0.640	0.7	0.607	0.706
Cr ₂ O ₃	0.043	0	0	0	0	0	0.026	0	0
NiO	0.007	0	0.03	0	0	0	0	0.005	0.018
Total	99.65	98.89	100.61	98.83	98.44	99.12	98.31	98.75	99.78
Si	11.004	10.914	11.157	10.29	10.927	10.449	11.491	10.457	11.077
Al	5.064	5.064	4.007	6.760	4.974	6.004	4.454	6.017	4.905
Fe3	0	0	0	0	0	0	0	0	0
Fe2	0.084	0.025	0.023	0.038	0.025	0.029	0.026	0.027	0.038
Mn	0	3.003	0.001	0	0.003	0	0.002	0.006	0
Mg	0.165	3.003	0.002	0.003	0.001	0	0	0.002	0
Ra	0	0	0	0	0	0	0	0	0
Ca	0.339	1.127	0.884	1.826	1.183	1.539	0.531	1.580	0.518
Na	2.494	2.722	2.987	1.833	2.78	2.416	3.246	2.213	2.897
K	0.758	3.128	0.125	0.039	0.122	0.127	0.16	0.141	0.16
Cations	19.93%	19.97%	19.98%	19.83%	20.02%	20.06%	19.96%	19.95%	19.98%
Ab	69.5	68.4	74.7	49.3	68.1	53.2	81.4	56.1	72.9
An	9.4	28.3	22.1	48.3	29	37.7	14.6	40.3	23.1
Or	21.1	3.2	3.1	1.8	3	3.1	4	3.6	4

(ادامه جدول ۲)

	enclave	enclave	enclave	enclave	enclave	enclave	enclave	enclave	enclave
Sample Analysis	f6 1 core	f6 2 core	f6 3 core	f6 4 between	f6 5 rim	f6 6 between	f6 7 between	f6 8 between	
SiO ₂	54.227	50.846	54.069	57.386	56.656	57.502	58.201	64.007	
TiO ₂	0.003	0.020	0.020	0.007	0.002	0.012	0	0	
Al ₂ O ₃	28.805	31.163	28.506	26.403	26.129	26.414	26.286	18.696	
FeO	0.266	0.263	0.228	0.37	0.155	0.309	0.233	0.091	
MnO	0.047	0.016	0.015	0.024	0	0	0.024	0.002	
MgO	11.1115	11.1121	11.1117	11.1116	11.1115	11	11	11	
CaO	10.804	13.568	10.612	8.012	8.028	8.117	7.653	0.013	
Na ₂ O	5.277	3.669	5.406	7.026	6.791	5.767	6.90	0.756	
K ₂ O	0.299	0.167	0.214	0.222	0.415	0.326	0.297	15.776	
Cr ₂ O ₃	0	0.072	0	0.029	0	0	0	0	
NiO	0.030	0	0	0.006	0	0	0	0	
Total	99.78	99.81	99.17	99.49	98.98	99.45	99.87	99.43	
Si	9.815	9.266	9.843	10.35	10.339	10.366	10.442	11.902	
Al	6.14	6.688	6.112	6.818	6.615	6.618	5.564	4.088	
Fe3	0	0	0	0	0	0	0	0	
Fe2	0.04	0.04	0.036	0.056	0.024	0.047	0.035	0.014	
Mn	0.007	0.002	0.002	0.004	0	0	0.004	0	
Mg	0.004	0.006	0.006	0.001	0.004	0	0	0	
Ra	0.007	0	0.001	0.003	0.034	0.002	0	0.031	
Ca	2.095	2.649	2.07	1.548	1.57	1.568	1.471	0.003	
Na	1.852	1.297	1.937	2.457	2.403	2.366	2.426	0.272	
K	0.060	0.039	0.05	0.051	0.037	0.075	0.068	3.737	
Cations	20.036	19.99	20.069	20.082	20.12	20.035	20.002	20.028	
Ab	46.1	32.5	47.7	60.6	59	59	61.2	6.8	
An	52.2	65.5	51	38.2	38.6	39.1	37.1	0.1	
Or	1.7	1	1.2	1.3	2.4	1.9	1.7	93.1	

جدول ۳) نتایج آنالیز مایکروپرورب آلکالی فلدسپارهای توده گرانیتوئیدی و آنکلاوهای موجود در آن بر حسب درصد وزنی.(محاسبه فرمول ساختاری بر اساس ۸ اکسیژن بنا شده است).

Sample	granite	granite	granite	granite	granite	granodiorite	granodiorite	granodiorite	granodiorite	enclave
	148-1	148-1	148-1	148-3	148-3	15	15-1	15-4	15-5	16
Analysis	core	Between	rim	core	rim	rim	Between	Between	rim	core
SiO ₂	64.129	63.723	64.734	64.46	65.062	64.951	65.255	64.539	65.778	63.38
TiO ₂	0.115	0.148	0.110	0.11	0.11	0.11	0.11	0.11	0.11	0.11
Al ₂ O ₃	10.558	10.796	19.352	15.396	10.30	10.377	10.052	10.402	12.493	10.690
FeO	C 142	0.11	0.103	0.107	0.081	0.04	0.003	0.117	0.054	0.003
MnO	1.68	1.68	1.121	1.110	1.112	1.111	1.11	1.110	1.11	1.11
MgO	0	0	0	0	0	0	0	0	C	0.005
CaO	C 301	C 144	0.867	0.682	0.090	0.049	0.125	0.04	0.034	0.003
Na ₂ O	2.767	2.762	4.234	1.101	2.184	1.111	3.156	1.224	1.447	4.114
K ₂ O	16.076	16.036	1.010	17.960	15.320	10.657	14.050	10.247	17.760	10.22
Cr ₂ O ₃	0	0.01	0	0.031	0	0	0	0	C	0.047
NiO	0	0.018	0.013	0	0	0.02	0.013	0	C	0
Tot	100.95	100.50	100.96	100.47	101.92	100.17	101.38	100.44	101.06	99.05
Si	11.831	11.737	11.860	11.826	11.826	11.846	11.842	11.811	11.862	11.854
Al	4.029	4.022	4.109	0.952	0.944	0.947	4.031	0.992	1.36	4.12
Fe ₂ O ₃	0	0	0	0	0	0	0	0	C	0
Ti	C 007	C 007	0	0.002	0	0	0	0	0.001	0
Fe ₂	C 022	C 017	0.017	0.016	0.012	0.006	0.001	0.016	0.008	0.001
Mn	C 008	0	0.003	0	0.004	0.005	0	0.002	C	0.002
Mg	0	0	0	0	0	0	0	0	C	0.001
Ba	0	0	0	0	0	0	0	0	C	0.012
Ca	C 013	C 029	0.188	0.171	0.079	0.01	0.124	0.006	0.078	0.001
Na	C 005	0.92	1.49	0.034	0.941	C 4	1.075	0.406	0.517	0.040
K	2.543	3.657	2.89	4.211	3.641	4.317	3.395	4.274	4.122	3.371
Cations	20.423	20.454	20.36	20.564	20.426	20.531	20.368	20.642	21.478	20.022
Al _i	21.7	22	24.3	11.2	20.6	22.5	22.9	22.2	11.1	0.7
Al _{ii}	0.4	0.6	3.9	0.3	0.4	C 2	0.5	0.2	0.4	0
Or	77.4	75.4	81.9	75.5	79.1	91.3	75.6	91.8	78.6	94.3

جدول ۴) نتایج آنالیز مایکروپرورب بیویت‌های توده گرانیتوئیدی و آنکلاوهای موجود در آن بر حسب درصد وزنی.(محاسبه فرمول ساختاری بر اساس ۲۲ اکسیژن بنا شده است).

Sample	148-1	148-2	148-2	148-3	15-1	15-2	16	16
SiO ₂	36.403	36.457	36.33	36.457	34.122	36.622	36.309	33.971
TiO ₂	4.441	4.475	4.466	4.475	3.344	3.628	4.153	4.119
Al ₂ O ₃	13.253	13.761	13.566	13.761	14.518	13.466	14.157	13.849
Cr ₂ O ₃	0.037	0.019	0.035	0.019	0.053	0	0	0
FeO ^a	19.137	19.401	18.729	19.401	21.012	19.685	19.31	19.128
MnO	0.248	0.238	0.201	0.238	0.434	0.336	0.303	0.326
MgO	12.32	12.298	12.012	12.293	12.866	12.379	11.744	11.813
CaO	0	0	0	0	0.004	0.016	0.059	0
Na ₂ O	0.186	0.128	0.099	0.128	0.103	0.173	0.217	0.15
K ₂ O	11.241	11.376	11.477	11.375	8.64	11.091	9.33	9.519
NiO	0.006	0	0.084	0	0	0	0.027	0.056
Tot	97.332	98.153	96.998	98.153	95.096	97.294	95.609	92.929
Si	5.776	5.738	5.777	5.738	5.637	5.802	5.785	5.614
Al _{IV}	2.224	2.262	2.223	2.262	2.463	2.198	2.216	2.366
Al _{VI}	0.253	0.288	0.317	0.288	0.311	0.321	0.441	0.309
Ti	0.63	0.63	0.634	0.63	0.408	0.434	0.498	0.512
Fe ₂	2.547	2.554	2.491	2.554	2.861	2.615	2.573	2.644
Cr	0.005	0.002	0.004	0.002	0.007	0	0	0
Mn	0.033	0.032	0.027	0.032	0.06	0.045	0.041	0.045
Mg	2.914	2.885	2.848	2.885	3.112	2.932	2.789	2.911
Ba	0	0	0	0	0	0	0.018	0.026
Ca	0	0	0	0	0.001	0.003	0.01	0
Na	0.057	0.039	0.031	0.039	0.032	0.063	0.067	0.048
K	2.275	2.284	2.328	2.284	1.789	2.248	1.895	2.007

جدول ۵) نتایج آنالیز مایکروپرورب آمفیبیول‌های توده گرانیتوئیدی و آنکلاوهای موجود در آن بر حسب درصد وزنی.(محاسبه فرمول ساختاری بر اساس ۲۳ اکسیژن بنا شده است).

Sample	granite								
Analysis	f48.1	f48.1	f48.2	f48.3	f48.3	f48.4	f48.4	f48.5	f48.5
SiO ₂	47.901	53.006	48.336	48.317	49.685	49.52	48.674	48.234	49.695
TiO ₂	0.918	0.332	1.279	1.041	0.901	0.671	0.975	0.75	1.03
Al ₂ O ₃	4.841	2.078	5.63	5.696	4.56	4.832	5.696	5.145	5.125
FeO	14.97	12.146	15.141	14.765	14.252	14.746	14.571	15.017	14.618
Cr ₂ O ₃	0.038	0.011	0.028	0	0	0.024	0	0.058	0.04
MnO	0.481	0.553	0.515	0.533	0.561	0.578	0.57	0.468	0.564
MgO	13.384	16.42	13.953	13.37	14.548	14.958	13.898	13.806	14.589
CaO	11.181	11.648	11.249	11.278	11.439	11.379	10.896	11.315	11.005
Na ₂ O	1.029	0.384	0.976	1.036	0.818	0.985	1.124	1.049	1.088
K ₂ O	0.47	0.174	0.579	0.591	0.431	0.513	0.629	0.468	0.536
NiO	0	0	0.044	0	0.016	0.011	0	0.037	0
Tot	95.213	96.752	97.93	96.576	97.201	98.217	96.832	96.347	96.29
TSI	7.141	7.588	6.975	7.104	7.192	7.085	7.079	7.09	7.1
TAI	0.85	0.35	0.991	0.896	0.777	0.814	0.921	0.891	0.862
TFe ₃	0.009	0.062	0.034	0	0.03	0.1	0	0.019	0.037
TTi	0	0	0	0	0	0	0	0	0
Sum_T	8	8	8	8	8	8	8	8	8
CAI	0	0	0	0.073	0	0	0.037	0	0
CCr	0.004	0.001	0.003	0	0	0.003	0	0.007	0.005
CFe ₃	0.69	0.626	0.866	0.619	0.754	0.911	0.859	0.787	0.906
CTi	0.103	0.036	0.139	0.115	0.098	0.072	0.107	0.083	0.111
CMg	2.975	3.504	3.002	2.93	3.139	3.191	3.013	3.025	3.107
CFe ₂	1.167	0.764	0.908	1.197	0.941	0.753	0.913	1.04	0.804
CMn	0.061	0.067	0.063	0.066	0.068	0.07	0.07	0.068	0.068
CCa	0	0	0	0	0	0	0	0	0
Sum_C	5	5	5	5	5	5	5	5	5
BMg	0	0	0	0	0	0	0	0	0
BFe ₂	0	0	0	0	0	0	0	0	0
BMn	0	0	0	0	0	0	0	0	0
BCa	1.786	1.786	1.739	1.777	1.774	1.744	1.698	1.782	1.685
BNa	0.214	0.107	0.261	0.223	0.226	0.256	0.302	0.218	0.301
Sum_B	2	1.893	2	2	2	2	2	2	1.986
ACa	0	0	0	0	0	0	0	0	0
ANa	0.083	0	0.012	0.059	0.004	0.018	0.015	0.031	0
AK	0.089	0.032	0.107	0.109	0.08	0.094	0.098	0.088	0.098
Sum_A	0.173	0.032	0.119	0.198	0.083	0.111	0.113	0.169	0.098

ادامه جدول ۵

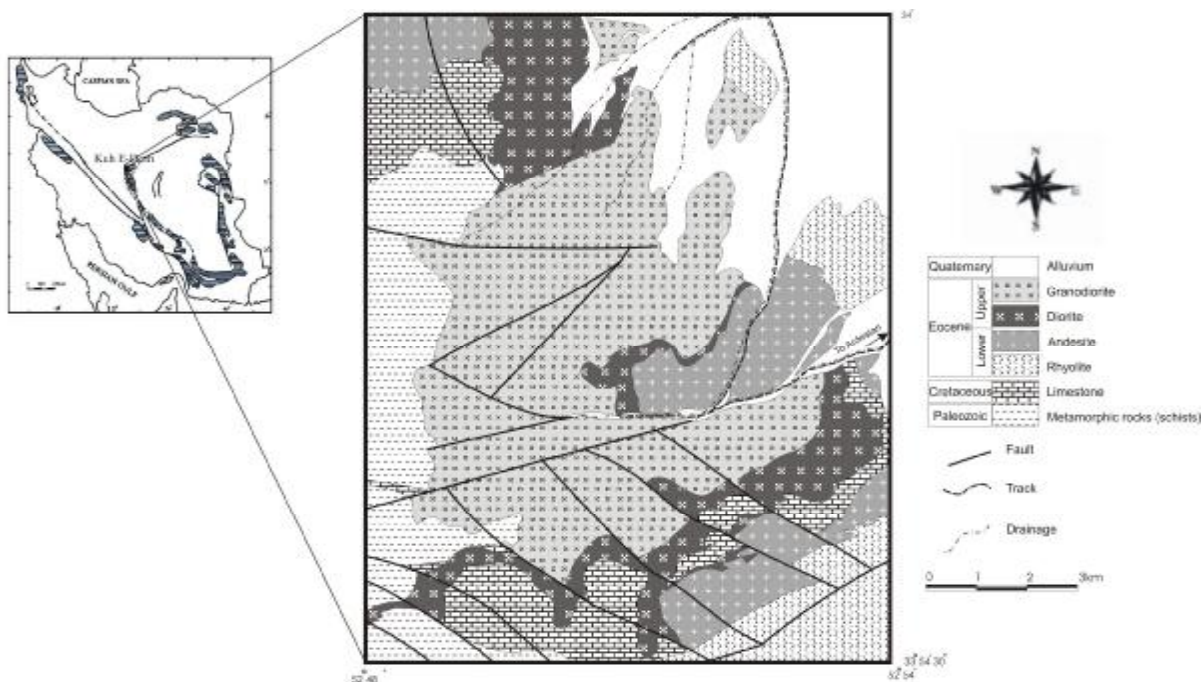
Sample	granodiorite	granodiorite	granodiorite	granodiorite	enclave	enclave	enclave	enclave
Analysis	15-1	15-1	15-2	15-2	16-18	16-18	16-19	16-17
SiO ₂	52.139	47.169	47.389	45.489	44.661	47.392	47.04	45.295
TiO ₂	0.204	1.132	1.097	1.082	1.648	1.36	1.134	1.631
Al ₂ O ₃	2.454	3.929	7.173	6.965	7.993	6.025	6.338	8.049
FeO	14.12 ^a	15.816	15.53	15.449	15.872	15.372	14.956	16.303
Cr ₂ O ₃	0	0	0.032	0	0.288	0	0	0
MnO	0.746	0.541	0.547	0.645	0.559	0.667	0.634	0.61
MgO	15.722	13.269	13.35	13.084	12.103	13.373	13.122	11.976
CaO	11.234	10.201	10.7 ^b	10.353	10.886	10.386	11.036	10.842
Na ₂ O	0.409	1.239	1.437	1.448	1.86	1.294	1.395	1.728
K ₂ O	0.141	0.98	0.663	0.697	0.671	0.42	0.475	0.635
NiO	0.039	0	0	0	0.036	0.028	0.07	0
Tot	97.229	95.5	97.931	95.212	96.387	96.387	96.23	97.057
TSi	7.445	6.898	6.842	6.831	6.847	6.968	6.952	6.691
TAI	0.412	1.162	1.153	1.169	1.363	1.031	1.048	1.303
TFe ₃	0.143	0	0	0	0	0	0	0
TTi	0	0	0	0	0	0	0	0
Sum_T	8	8	3	8	8	8	8	8
CAI	0	0.021	0.062	0.036	0.049	0.002	0.056	0.091
CCr	0	0	0.004	0	0.034	0	0	0
CFe ₃	0.337	1.27	1.017	1.091	0.821	0.966	0.747	0.81
CTi	0.322	0.129	0.113	0.12	0.185	0.116	0.126	0.181
CMg	0.345	2.872	2.873	2.866	2.686	2.966	2.891	2.637
CFe ₂	0.306	0.648	0.859	0.807	1.155	0.888	1.101	1.204
CMn	0.09	0.066	0.067	0.08	0.07	0.082	0.079	0.076
CCa	0	0	0	0	0	0	0	0
Sum_C	5	5	5	5	5	5	5	5
BMg	0	0	0	0	0	0	0	0
BFe ₂	0	0	0	0	0	0	0	0
BMn	0	0	0	0	0	0	0	0
BCa	17.18	1.584	1.657	1.63	1.738	1.684	1.752	1.716
BNa	0.113	0.347	0.343	0.37	0.262	0.306	0.248	0.284
Sum_B	1.331	1.931	2	2	2	2	2	2
ACa	0	0	0	0	0	0	0	0
ANa	0	0	0.059	0.042	0.214	0.089	0.152	0.21
AK	0.026	0.109	0.122	0.131	0.127	0.078	0.09	0.12
Sum_A	0.026	0.109	0.181	0.173	0.342	0.137	0.242	0.33

ترکیب اسیدی دارد ولی بخش‌های جنوبی، شرقی و شمالی آن توسط نواری منقطع از سنگ‌های حدواسط احاطه شده است. قسمت اعظم بخش اسیدی از گرانودیوریت و بخش حدواسط عمدتاً از دیوریت تشکیل شده است. در گزارش تکنواکسپورت (Technoexport, 1981) سن جایگزینی این توده، ائوسن بالایی ذکر شده است.

زمین‌شناسی
توده گرانیتوئیدی کوهدم به لحاظ ترکیب و سن سنگ‌های فراگیر از تنوع قابل ملاحظه‌ای برخوردار است، بدین ترتیب که شیسته‌ها و فیلیت‌های پالشوژوئیک، آهک‌های کرتاسه و سنگ‌های آتشفسانی (آندزیت و ریولیت) ائوسن زیرین به عنوان سنگ میزبان این توده قابل ذکر هستند. این توده بیشتر

حاشیه توده ارتباطی دیده نمی‌شود، در قسمت‌های مرکزی و شمال توده بیشتر یافت می‌شوند. از جمله مشخصات این آنکلاوها، مرز مشخص با سنگ میزبان، حاشیه گرد شده و فقدان هرگونه جهت یافتنگی است. اندازه آنکلاوها متغیر است و از مقیاس میکروسکوپی به صورت تجمعاتی از کانی‌های مافیک (لخته‌های مافیک) تا اندازه ۳۰ سانتی‌متری دیده می‌شوند.

(شکل ۱). بخش اسیدی از لحاظ سنگ‌شناسی طیف وسیعی از مونزوگرانیت، گرانودیوریت و مونزوودیوریت کوارتزدار را شامل می‌شود و در نمونه دستی با رنگ صورتی تا کرم نمایان است. این توده میزبان تعداد نسبتاً زیادی آنکلاو میکروگرانولار خاکستری - سبز با ترکیب کوارتزدیوریت، مونزوودیوریت و کوارتزمونزوودیوریت است. آنکلاوها در سراسر توده نفوذی به چشم می‌خورند و با این که بین حضور آنها و نزدیک شدن به



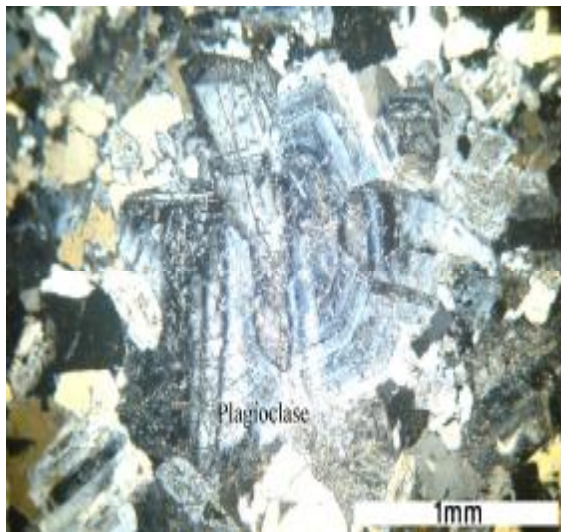
شکل ۱) نقشه زمین‌شناسی توده نفوذی کوهدم. اقتباس از گزارش تکنواکسپورت (Technoexport, 1981) با تغییرات جزئی.
پتروگرافی
توده نفوذی

کوارتزها، دارای خاموشی موجی، حاشیه مضرس و شکستگی‌های فراوان هستند و اغلب فضای بین کانی‌های دیگر را پر می‌کنند. ارتوكلاز اکثراً ماکل کارلسbad دارند و در برخی موارد حاوی انکلوزیون‌هایی از کانی‌های هورنبلند، بیوتیت، پلاژیوکلاز و کوارتز هستند که موجب ظهور بافت پوئی‌کیلیتیک در نمونه‌ها شده است (شکل ۲).

بافت غالب در گرانودیوریت‌ها، گرانولار دانه متوسط است ولی گاهی بافت‌های پوئی‌کیلیتیک و آنتی‌رایپاکی وی نیز به چشم می‌خورند. ترکیب کانی‌شناسی آنها شامل پلاژیوکلاز، ارتوكلاز، کوارتز، بیوتیت و هورنبلند است.

بیوتیت به مقدار زیاد و هورنبلند با فراوانی کمتر، از کانی‌های مافیک گرانوپیریت‌ها به شمار می‌آیند. گاهی این کانی‌ها به صورت شکل‌دار در کنار کانی‌های اسفن و ماجنتیت تجمع یافته و لخته‌های مافیک را تشکیل داده‌اند (شکل ۶).

از کانی‌های فرعی این مجموعه می‌توان به زیرکن به صورت ادخال در بیوتیت، آپاتیت اکثراً درون پلازیوکلازها، اسفن به صورت اولیه و گاه به صورت ثانویه حاصل دگرسانی کانی‌های مافیک و کانی‌های اپک تیتانومانیتیت اشاره نمود.

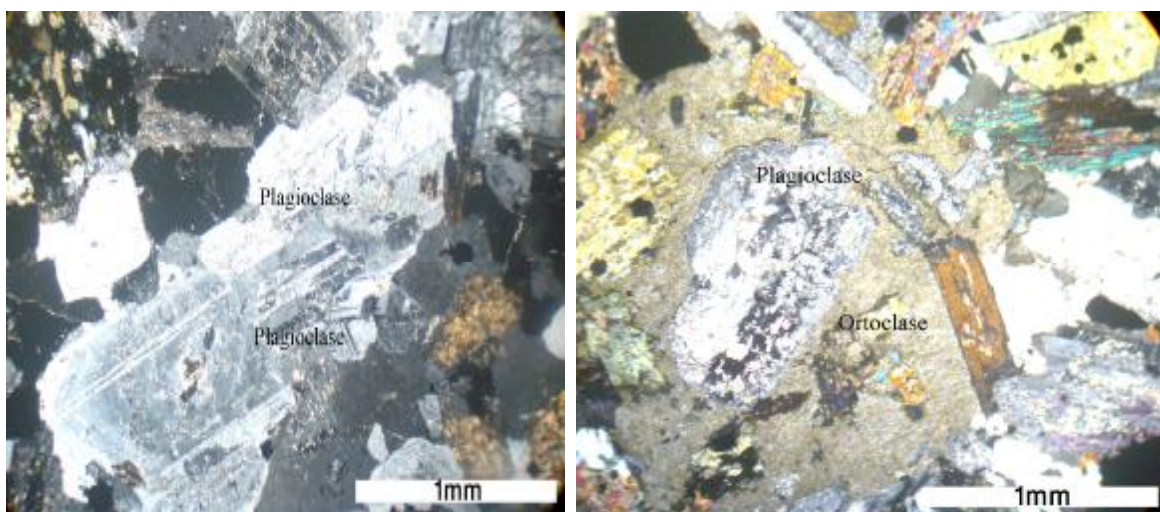


شکل ۳) نمایی از زوینگ نوسانی در بلور پلازیوکلاز (نور پلاریزه).

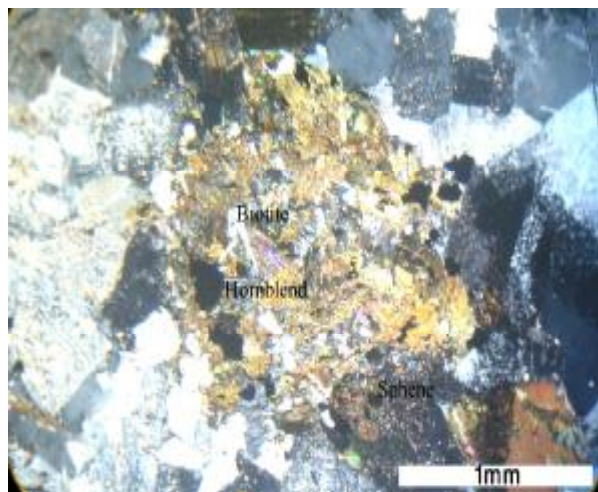
پلازیوکلاز بیشتر ماکل پلیستتیک داشته و در حاشیه‌ها اکثراً خوردگی و انحلال پیدا کرده‌اند. گاهی پلازیوکلازها ساختمان منطقه‌بندی نشان داده که بر اساس داده‌های مایکروپریوب عمده‌تاً از نوع عادی و یا به ندرت از نوع نوسانی است (شکل ۳). در برخی از نمونه‌ها ارتوكلاز به صورت هاله‌ای اطراف پلازیوکلاز را فراگرفته و بافت آنتی‌رپاکی‌وی ایجاد نموده است (شکل ۴) و یا بلور پلازیوکلاز، تیغه‌های پلازیوکلاز کوچکتر را در بر گرفته است (شکل ۵).



شکل ۲) ادخال‌های پلازیوکلاز و آمفیبول در فلدسپار پتاسیم منجر به ظهرور بافت پوئی کیلیتیک شده است (نور پلاریزه).



شکل ۴) احاطه شدن بلور پلازیوکلاز توسط ارتوکلاز و پلازیوکلاز بزرگتر (نور پلاریزه).



شکل ۶) تشکیل لخته‌های مافیک در اثر تجمع بلورهای بیوتیت، هورنبلندر، اسفن و کانی‌های اپک (نور پلاریزه).

آنکلاوها به وفور حاوی پلازیوکلاز و کانی‌های

آنکلاو

مافیک هستند، در حالی که گرانیتوئیدهای میزبان دارای مقادیر کمتری از این کانی‌ها بوده و در عوض کوارتز و فلدسپار پتاسیم بیشتری دارند. پلازیوکلاز به دو صورت در آنکلاوها دیده می‌شود. پلازیوکلازهای کوچک با ماکل پلی‌ستیک، اکثراً زمینه دانه ریز سنگ می‌سازند، در حالی که درشت بلورهای پلازیوکلاز با اختلاف اندازه

آنکلاوهای مورد مطالعه دانه ریز بوده و بافت میکروگرانولار نشان می‌دهند. اندازه بلورها از مرکز به سمت حاشیه آنکلاوها به تدریج کوچکتر می‌شود. از لحاظ نوع کانی‌های سازنده، مشابه سنگ میزان بوده ولی از نظر فراوانی درصد حجمی (مدال) کانی‌ها متفاوت هستند.

فلدسپار پتاسیم به دام افتاده‌اند. در برخی موارد بلورهای بیوتیت توسط آمفیبول‌ها احاطه شده‌اند.

از کانی‌های فرعی آنکلاوهای می‌توان به آپاتیت، اسفن، زیرکن و ماگنتیت اشاره نمود. آپاتیت‌ها اکثراً به فرم سوزنی (شکل ۱۰) و در برخی موارد به صورت منشورهای کوتاه و پهن درون پلاژیوکلازها حضور دارند.

اسفن به صورت بلور شکل دار اولیه و گاه به صورت بلورهای بی‌شکل حاصل از دگرسانی کانی‌های مافیک در بین مجموعه کانی‌ها پراکنده است. بلورهای کوچک شکل دار تا بی‌شکل زیرکن بیشتر در داخل بیوتیت دیده می‌شوند. ماگنتیت اکثراً در امتداد رخ‌ها و حاشیه کانی‌های مافیک به چشم می‌خورد. در محل همبری آنکلاوهای با سنگ میزبان اثری از تغییر شکل حالت جامد دیده نمی‌شود.

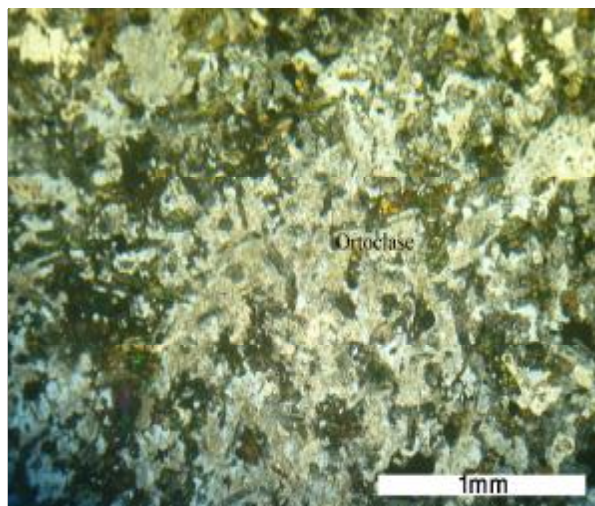
مرز آنکلاوهای کنگرهای، مضرس و زائده‌دار است (شکل ۱۱) و در عین حال در محل همبری آنکلاو-سنگ میزبان بلورهای فلدسپاری حضور دارند که مرز مشترک آنکلاو-سنگ میزبان را قطع نموده‌اند (شکل ۱۲).

فاحش، ماکل پلی‌ستتیک و یا منطقه بندی عادی و گاه نوسانی داشته و از کناره‌ها خورده شدگی و انحلال نشان می‌دهند (شکل ۷).

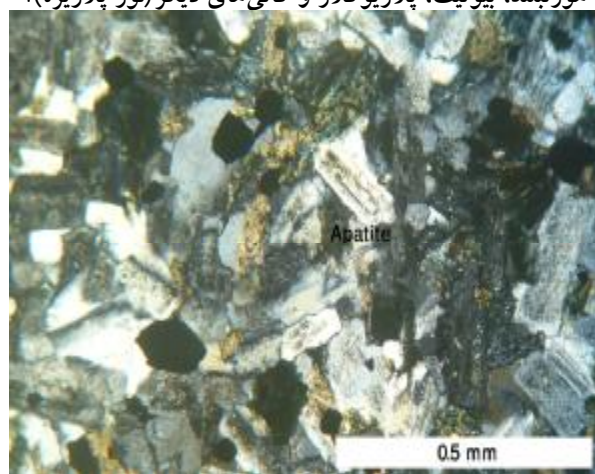
ارتوكلاز بیشتر در زمینه بوده و گاه به صورت درشت بلور حضور دارند. این فنوکریست‌ها غالباً به صورت گرد شده و انحلال یافته در قسمت حاشیه‌ای آنکلاو حضور دارند و حاوی انکلوزیون‌هایی از کانی‌های پلاژیوکلاز، بیوتیت، آمفیبول و کانی‌های فرعی دیگر هستند (شکل ۸).

به نظر می‌رسد این ادخال‌ها، بخشی از زمینه آنکلاو باشد که توسط درشت بلورها احاطه شده‌اند. کوارتز در اکثر آنکلاوهای به صورت بی‌شکل فضای بین کانی‌های دیگر را پر می‌کند و یا به شکل انکلوزیون در داخل سایر کانی‌ها ظاهر می‌شود. در برخی آنکلاوهای کوارتز‌های کروی و خورده شده‌ای ملاحظه می‌شود که کانی‌های دما بالاتر ریز بلور مانند پلاژیوکلاز، بیوتیت و آمفیبول اطراف آن‌ها را احاطه نموده‌اند (شکل ۹).

هورنبلند و بیوتیت معمولاً دانه ریز بوده و به صورت پراکنده در بین مجموعه کانی‌ها حضور دارند و یا به صورت انکلوزیون درون کانی‌های دیگری مانند کوارتز و



شکل ۸) فنوکریست ارتوکلاز حاوی انکلوژیون هایی از کانی های هورنبلند، بیوتیت، پلاژیوکلاز و کانی های دیگر (نور پلاریزه).



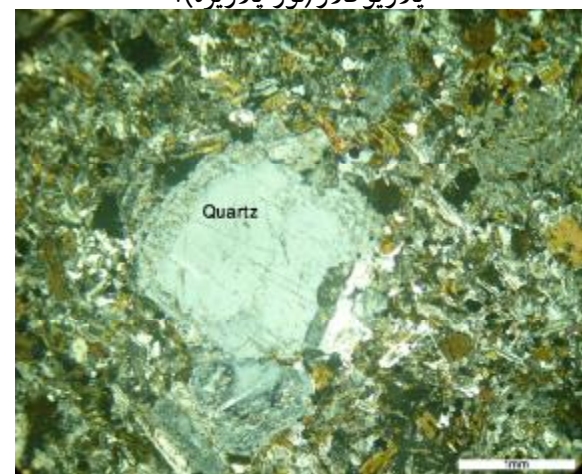
شکل ۱۰) نمایی از حضور آپاتیت های سوزنی درون آنکلاوهای (نور پلاریزه).



شکل ۱۲) حضور بلورهای فلدسپار در مرز همبrij آنکلاو- سنگ میزبان (نور پلاریزه).



شکل ۷) انحلال و خوردگی شدگی حاشیه فنوکریست پلاژیوکلاز (نور پلاریزه).



شکل ۹) فنوکریست کوارتز با حاشیه ای از کانی های دمای بالا (نور پلاریزه).



شکل ۱۱) مرز مضرس، کنگرهای و زائددهار آنکلاو- سنگ میزبان (نور پلاریزه).

با توجه به تغییرات عناصر اصلی و کمیاب در دیاگرام‌های هارکر (Harker, 1909) در می‌یابیم اکسیدهای اصلی Al_2O_3 , Na_2O , TiO_2 , Fe_2O_3 , MgO , MnO , CaO و P_2O_5 در آنکلاوهای فراوانی بالاتری برخوردارند و روندهای تغییرات این عناصر در برابر سیلیس کم و بیش خطی و سیر نزولی نشان می‌دهند، در حالی که K_2O از میزان کمتری برخوردار بوده و روند تغییرات آن در برابر سیلیس سیر صعودی دارد. روند تغییرات عناصر فرعی در آنکلاوهای نسبت به سنگ میزبان طیف گسترده‌تری را به نمایش گذاشته‌اند.

عناصر Y و Nb در آنکلاوهای نسبت به سنگ میزبان از فراوانی بالایی برخوردار بوده، در صورتی که عناصر Ni , Ba , Rb و Th از فراوانی کمتری برخوردارند. عناصر Cr , Co , Zr و Sr تقریباً به میزان مساوی در سنگ‌های گرانیتوئیدی و آنکلاو مشارکت نموده‌اند. روند تغییرات عناصر Ba , Rb و Th سیر صعودی، اما روندهای Nb و Y سیر نزولی را به نمایش گذاشته است (شکل ۱۷). برای تمایز ویژگی ژئوشیمیایی توده گرانیتوئیدی و آنکلاو می‌توان از نمودار مثلثی ارتوز - آنورتیت - آلیت نرماتیو (Tuttle & Bowen, 1958) استفاده نمود (شکل ۱۸).

با توجه به این شکل در می‌یابیم که اختلاف آشکاری بین ویژگی ژئوشیمیایی آنکلاوهای و سنگ میزبان مشاهده می‌شود، به طوری که توده نفوذی میزبان دارای ترکیب پتاسیک، ولی آنکلاوهای عمده‌ای سدیک هستند. در نمودارهای عنکبوتی عناصر کمیاب که نسبت به گوشه اولیه (Sun & McDonough, 1989) هنجار شده‌اند (شکل ۱۹ الف)، نمونه‌های مورد مطالعه روند مشابهی را به نمایش گذاشته، ولی سنگ‌های توده گرانوپوریتی نسبت به آنکلاوهای از عناصر Y , Tm , Nb , Ti , Yb و Cs فقیرتر واز عناصر LILE نظیر Th , Ba , Rb , Cs و K غنی‌ترند. علاوه بر این گرانوپوریت‌ها آنومالی منفی Sr , P , Ba , Sr , Nb و Ti و آنکلاوهای آنومالی منفی Sr , Ba و Ti نشان می‌دهند. نمونه‌های گرانوپوریتی در نمودار تغییرات

شیمی کانی

نتایج آنالیزهای مایکروپروب، بر روی کانی‌های پلازیوکلاز، آمفیبول و بیوتیت بیانگر شباهت ترکیب کانی‌شناسی توده گرانوپوریتی با آنکلاوهای است. براساس نمودار دییر (Deer et al., 1991) ترکیب پلازیوکلازها در گرانوپوریت‌ها از الیگوکلاز تا آندزین متغیر بوده و در برخی موارد زونینگ نوسانی معکوس نشان می‌دهند. در حالی که ترکیب پلازیوکلازها در آنکلاوهای آندزین تا لابرادوریت تغییر می‌کند و زونینگ نوسانی عادی در آن‌ها مشاهده می‌شود (شکل ۱۳).

نتایج آنالیز مایکروپروب بر روی یکی از پلازیوکلازها حاکی از آن است که درون پلازیوکلاز انحلال و خورده شدگی صورت گرفته و ترکیبی در حد $\text{Ab}_{93/1} \text{Or}_{6/8} \text{An}_{1/100}$ (ارتسوکلاز)، در آن محدوده جایگزین شده است (شکل ۱۴).

فلدسپارهای آلکالن در گرانوپوریت‌ها اکثرآ در محدوده ۹۰-۷۵ درصد ارتسوکلاز و در آنکلاوهای در محدوده ۹۶ درصد ارتسوکلاز قرار گرفته‌اند. طبق طبقه‌بندی لیک (Leake et al., 1997) آمفیبول‌های این مجموعه، کلسیک و ترکیب آن‌ها در گرانوپوریت‌ها از منیزیوپورنبند تا اکتینولیت متغیر است و در آنکلاوهای قلمرو منیزیوپورنبند واقع می‌شوند (شکل ۱۵).

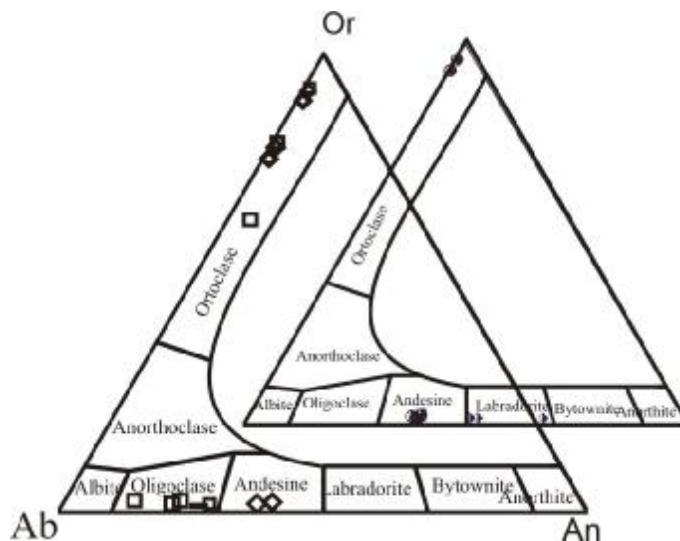
تغییر ترکیب از منیزیوپورنبند در مرکز آمفیبول تا اکتینولیت در حاشیه آن، می‌تواند نشان دهنده تغییر شرایط فیزیکوشیمیایی مانگما در آخرین مراحل تبلور آن باشد. بیوتیت‌های موجود گرانوپوریت‌ها و دیوریت‌ها مطابق طبقه‌بندی فورستر (Forster, 1960) از نوع بیوتیت منیزیم‌دار هستند (شکل ۱۶).

لازم به ذکر است، محاسبه مقادیر Fe^{2+} و Fe^{3+} در فرمول ساختمانی کانی آمفیبول از روی مقدار Fe کل با استفاده از روش‌های پیشنهادی لیک (Leake et al., 1997) انجام شده است.

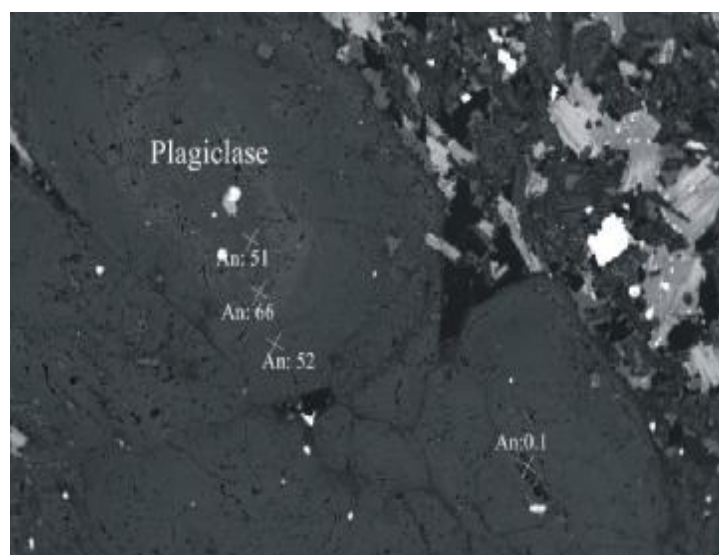
ژئوشیمی

کم آنها در آنکلاوها موجب تشکيل الگوي نسبتاً مسطح در آنکلاوها شده است. در اين نمودارها، گرانوديوريت‌ها، آنومالي منفي Eu دارند، در صورتی که اين آنومالي در آنکلاوها ناچيز است.

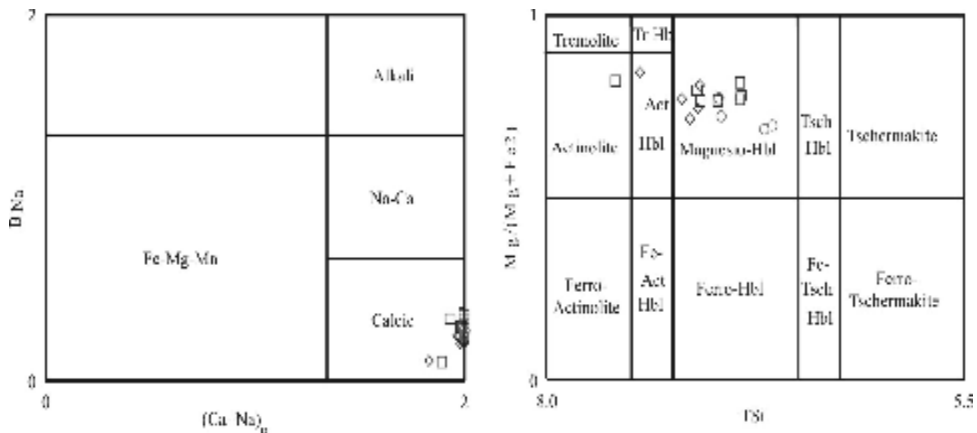
عناصر نادر خاکي که نسبت به کندریت (Sun & McDonough, 1989) هنجار شده‌اند، روند موازي داشته و نسبت به آنکلاوها از فراوانی LREE بيشتری برخوردارند و ميزان HREE خيلي كمتری دارند (شکل ۱۹ ب). فراوانی اندک عناصر HREE و تفريقي يافتگي



شکل ۱۳) طبقه بندی فلدسپارهای توده گرانیتوئیدی و آنکلاوهای موجود در آن (Deer et al., 1991) لوزی توخالی معرف مرکز بلور فلدسپار، مربع متعلق به حاشیه آن و خط افقی حد فاصل حاشیه و مرکز بلور فلدسپار در گرانوديوريت‌ها است. دایره نيمه پر نماینده ترکيب فلدسپار در حاشیه و لوزی نيمه پر متعلق به مرکز و مثلث نيمه پر حد فاصل حاشیه و مرکز آنکلاو است.



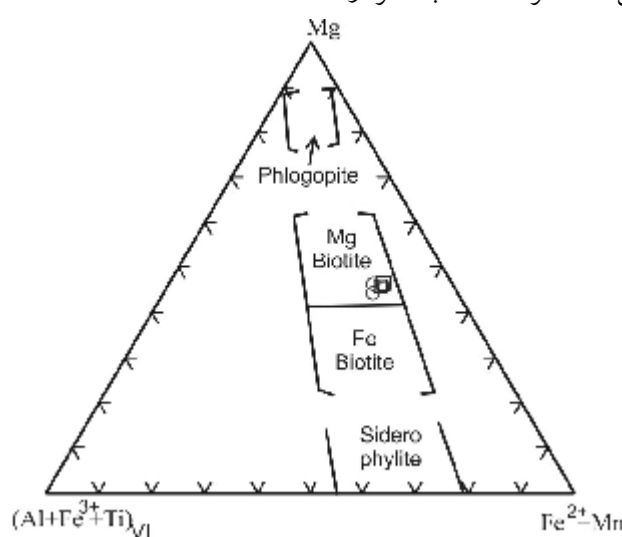
شکل ۱۴) عالم ضربدر معرف نقاطی از یک بلور پلاژیوکلاز زونه را در نور منعکسه است که تحت آنالیز مايكروپروب قرار گرفته است و در کنار نقاط درصد آنورتیت گزارش شده است.



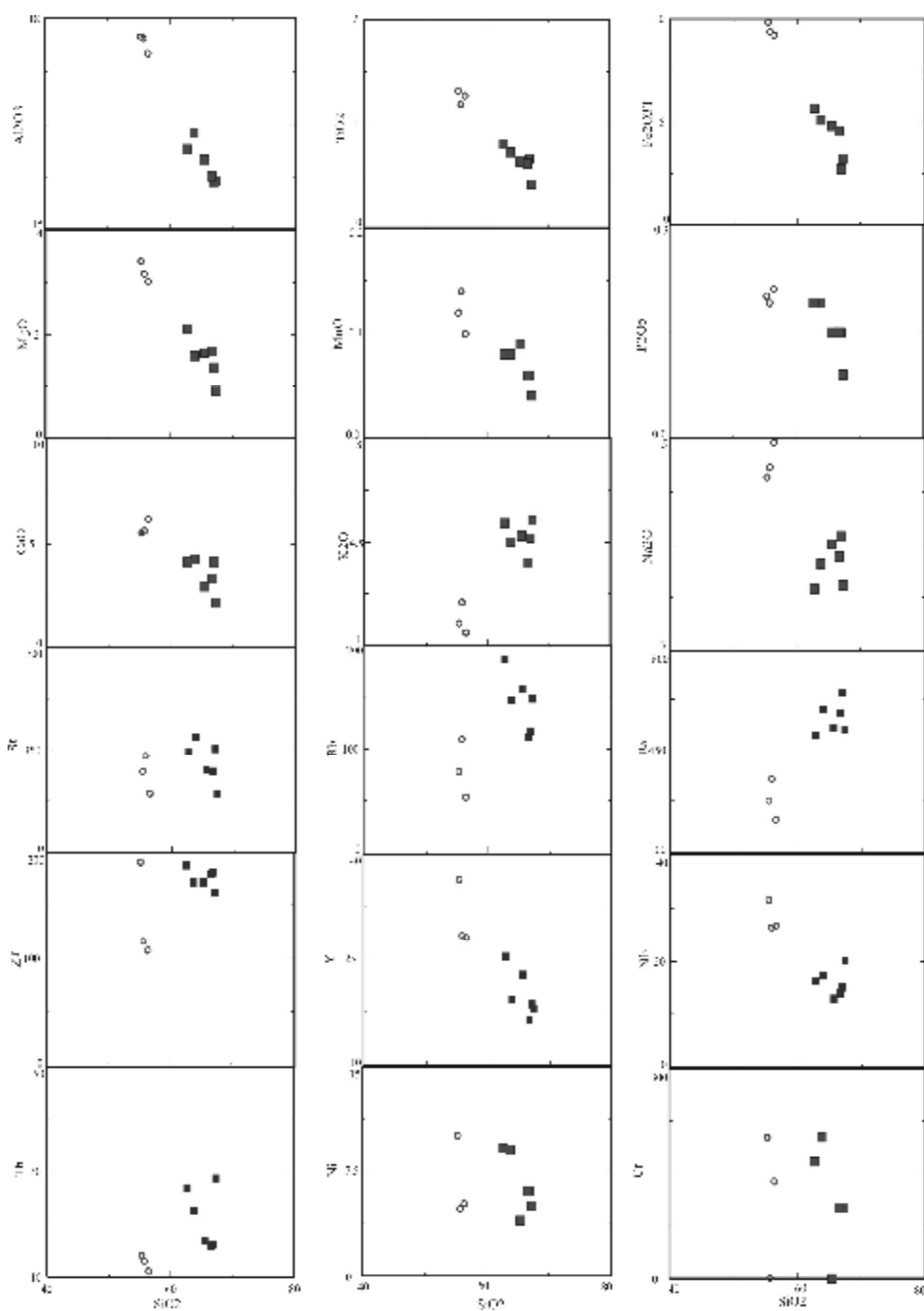
شکل ۱۵) طبقه بندی آمفیبولها بر اساس ترکیب شیمیایی آنها (Leak et al., 1997). مربع و لوژی به ترتیب معرف مرکز و حاشیه آمفیبول در گرانو دیوریت‌ها و دایره نماینده ترکیب آمفیبول در آنکلاو است.

خط میانگین فراوانی عناصر پوسته زیرین و عناصر HREE اکثراً در پایین این خط واقع شده‌اند، در حالی که آنکلاوهای روند تقریباً صعودی را دنبال می‌کند و مقادیر بیشتری را نسبت به خط میانگین فراوانی عناصر پوسته زیرین به نمایش گذاشتند.

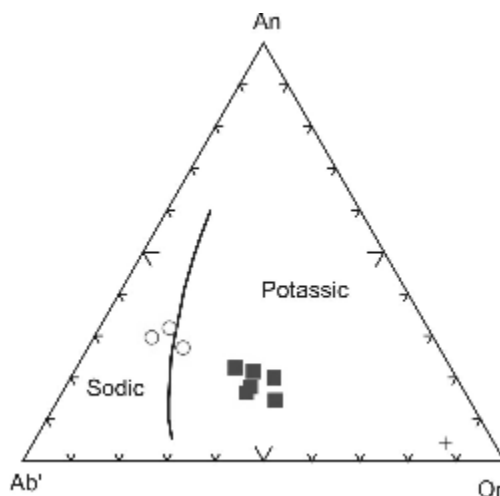
در شکل ۱۹) ج نمودار تغییرات عناصر کمیاب خاکی نمونه‌ها نسبت به پوسته زیرین (Taylor & McLenna, 1985) هنجار شده است. چنانچه در این نمودار ملاحظه می‌کنیم، این نمونه‌ها دو روند متفاوت را به نمایش گذاشته است. گرانو دیوریت‌ها از LREE غنی بوده و از HREE تهی شده‌اند و فراوانی عناصر LREE بالاتر از



شکل ۱۶) طبقه بندی میکاهای با استفاده از ترکیب شیمیایی آنها طبق رده بندی فورستر (Forster, 1960). مربع معرف ترکیب بیوتیت در گرانو دیوریت‌ها و دایره نماینده ترکیب بیوتیت در آنکلاو است.



شکل (۱۷) موقعیت نمونه‌های گرانیتوئیدی و آنکلاوهای میکروگرانولار بر روی نمودار تغییرات اکسیدهای اصلی و عناصر فرعی در برابر سیلیس (Harker, 1909). فراوانی اکسیدها بر حسب درصد وزنی و عناصر فرعی بر حسب گزارش شده است. علامت مربع معرف سنگ‌های گرانیتوئیدی توده و دایره متعلق به آنکلاوهای میکروگرانولار ppm است.



شکل ۱۸) موقعیت نمونه‌های مورد مطالعه بر روی نمودار مثلثی **Ab'-An-Q(Tuttle & Bowen, 1958)**. عالم مشابه شکل ۱۷ است.

پلاژیوکلاز (Vernon, 1991)، بافت پرفیروئید، ماکل و زونینگ پلاژیوکلازها (Vernon, 2004; Liankun & Kuirong, 1991) مشخص می‌شود. وجود آنکلاوهای گرد شده، عدم مشاهده حاشیه انجاماد سریع مافیک و فقدان تمرکز آنکلاوهای در حاشیه توده نفوذی بیانگر آن است که آنکلاو نمی‌تواند حاشیه انجاماد سریع توده نفوذی باشد. همچنین اختلاف ژئوشیمیایی بارز بین آنکلاو و سنگ میزبان نیز دلیلی قطعی بر منتفی دانستن شکل‌گیری آنکلاوهای از حاشیه انجاماد سریع توده نفوذی است. وجود اختلافات ژئوشیمیایی بارز بین آنکلاوهای و توده گرانیتوئیدی، منشاء اتوالیتی آنکلاوهای را با تردید جدی مواجه می‌سازد، چرا که در صورت اتوالیتی بودن آنکلاوهای انتظار بر آن است که ویژگی‌های ژئوشیمیایی توده و آنکلاوهای مشابه باشد (Fershtater & Borodina, 1991) اما بر خلاف انتظار، سنگ‌های توده ماهیت پتاسیک و آنکلاوهای ماهیت سدیک دارند. علاوه بر این فقدان بافت کومولاوی در آنکلاوهای و بالا نبودن عناصر کرم، نیکل و استرانسیم (Chappell, 1996) و همچنین حضور کوارتز در ترکیب کانی شناسی آنکلاوهای Dorais et al., 1997) با فرض کومولا بودن آنها منافات دارد. ویژگی‌های ژئوشیمیایی متفاوت آنکلاوهای میکروگرانولار با سنگ میزبان و مقادیر پایین عناصر دیرگذار در آنکلاوهای، احتمال رستیت بودن آنها را نیز با تردید مواجه می‌سازد (Liankun & Kuirong, 1991).

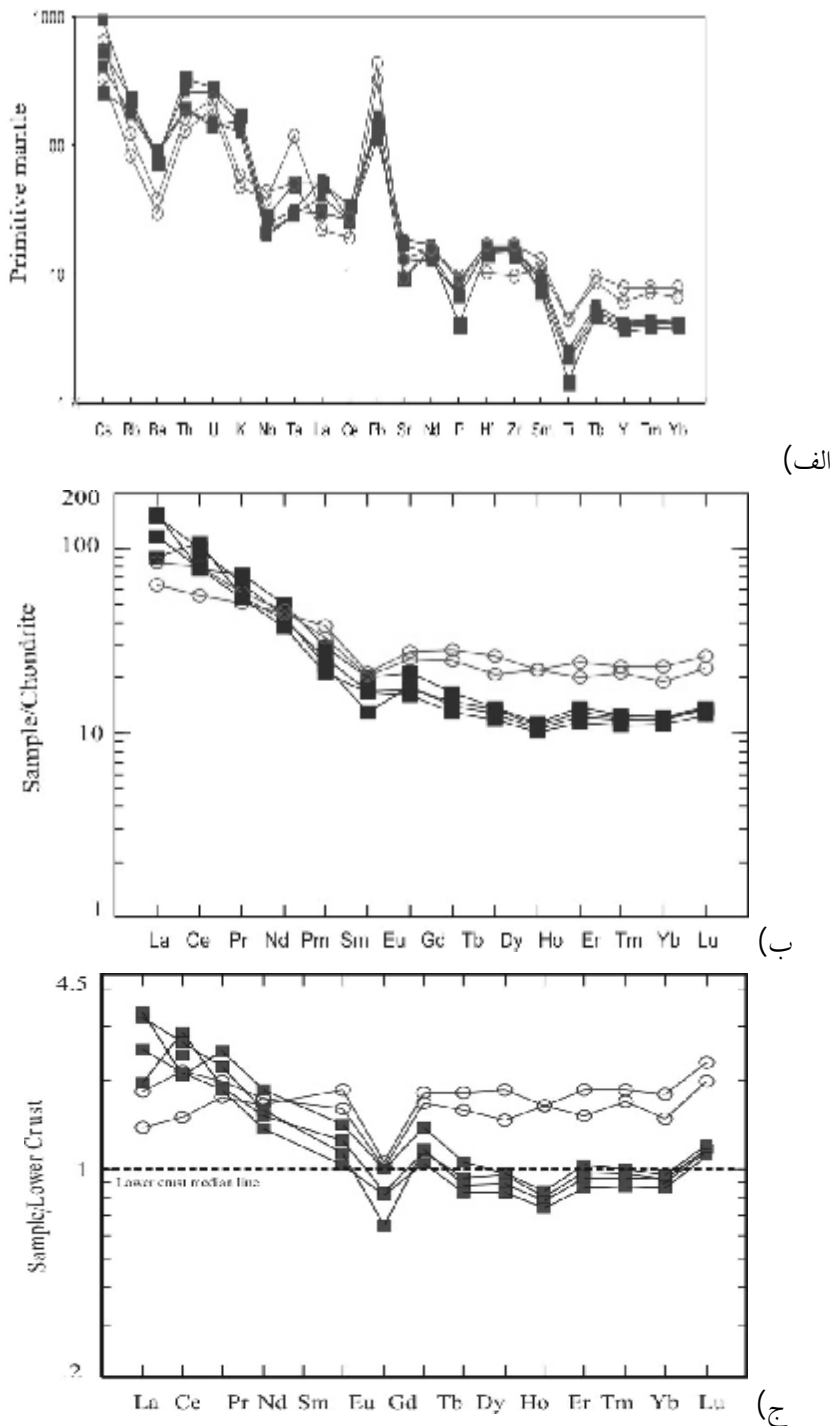
بحث

آنکلاوهای به صورت جامد و یا مذاب به درون ماقمای میزبان وارد می‌شوند. ممکن است بخشی از سنگ میزبان و یا بخشی از مواد تفریق یافته اولیه هم منشاء با ماقمای میزبان و یا بقایای ذوب نشده حاصل از فرآیند آناتکسی، در طی صعود یا جایگزینی ماقما، به درون آن وارد شوند.

اگر آنکلاو به صورت مذاب در داخل ماقمای گرانوڈیوریتی وارد شده باشد، ممکن است با ماقمای میزبان خود هم منشاء (از یک اتاق ماقمایی) و یا از منشاء‌های مختلفی مشتق شده باشد. وجود آنکلاوهای کاملاً گرد شده در توده نفوذی، عدم ارتباط بین پراکندگی آنکلاوهای با حاشیه توده نفوذی و شواهدی از بروز تبادلات شیمیایی و یا کانی شناسی بین آنکلاو و سنگ میزبان همگی دلایلی بر علیه فرضیه منشاء‌گیری آنکلاوهای از فرآیند شکسته شدن سنگ‌های میزبان می‌باشند، زیرا در صورت خرد شدن سنگ‌های میزبان راهیابی آنها به داخل ماقما، انتظار می‌رود آنکلاوهای در نزدیک حاشیه فراواتر (Chen et al., 1991) و زاویه‌دار بوده و در عین حال هیچ گونه نقل و انتقالات شیمیایی و یا کانی شناسی در آنها صورت نگرفته باشد (Dorais et al., 1997).

منشاء ماقمایی آنکلاو توسط بافت‌های شاخص آذرین مانند وجود بلورهای شکل‌دار فازهای مافیک و

طرفي فقدان بافت های دگرگونی و عدم ظهور آنومالی مثبت Eu در آنکلاوها با رستيت بودن آنکلاوها منافات (Sergi, 1997) دارد.



شکل ۱۹) فراوانی عناصر کمیاب و نادر خاکی در نمونه های مورد مطالعه نسبت به (الف) گوشه اولیه Sun (Sun and McDonough, 1989) و (ب) کندرتیت (Sun and McDonough, 1989) و (ج) پوسته زیرین (Taylor & McLenna, 1985) نرمالایز شده است. علائم مشابه شکل ۱۷ است.

باعث جابه‌جایی کانی‌ها بین آنکلاو و سنگ میزبان می‌شود. همان طور که در شکل ۱۲ مشاهده می‌شود، نیمی از یک بلور پلاژیوکلاز در داخل آنکلاو و نیمه دیگر آن در داخل سنگ میزبان متبلور شده است که این امر میین مذاب بودن آنکلاو در هنگام قرارگیری در داخل ماگمای اسیدی میزبان است (Perugini et al., 2003; Castro et al., 1991; Silva et al., 2000).

بسیاری از محققان حضور مگاکریست فلدسپار پتاسیم در آنکلاو را نشانه وقوع اختلاط ماقمایی می‌دانند (Elburg, 1996; Perugini et al., 2003). آزمایشات تجربی بر روی ماقمای سازنده آنکلاوهای نشان می‌دهد که ابتدا مذاب از فازهای هورنبند، بیوتیت و پلاژیوکلاز اشباع شده و سپس در صورت مناسب بودن ترکیب مذاب باقیمانده برای رشد فلدسپار پتاسیم، به علت پایین بودن نسبت هسته‌زایی نسبت به سرعت رشد در فلدسپار پتاسیم، بلورهای درشت این کانی متبلور می‌شود (Vernon, 2004).

با توجه به این واقعیت که ترکیب شیمیایی اکثر آنکلاوهای برای تبلور درشت بلورهای فلدسپار پتاسیم مناسب نیست، پس باقیستی مواد لازم برای تبلور مگاکریست‌های این کانی از منشاء خارجی تامین شده باشد (Vernon, 1991).

به عقیده ورنون (Vernon, 1990 & 1991) مگاکریست‌های فلدسپار پتاسیم در آنکلاو و سنگ میزبان از یک منشاء هستند، این مگاکریست‌ها، فنوکریست بوده و پرفیروپلاست نیستند (Vernon, 1986) (به این معنی که عنصر مورد نیاز برای تبلور فلدسپار پتاسیم، از ماقمای سازنده سنگ میزبان به داخل آنکلاو وارد شده

محتمل ترین منشاء برای تشکیل این آنکلاوهای راهیابی مذاب دیوریتی به مخزن ماقمای سازنده گرانوڈیوریت‌ها است. به این صورت که ماقمای حدواسط - بازیک پرس حرارت به درون ماقمای اسیدی نسبتاً سردتر نفوذ کرده و با از دست دادن دما به آنکلاو تبدیل شده است و در برابر مذاب پیرامون خود نفوذ ناپذیر باقی مانده است (Stephens et al., 1991).

دانه ریز بودن آنکلاوهای به عنوان شاهدی از سرد شدن سریع مذاب سازنده آن‌ها در مقایسه با ماقمای گرانتوئیدی تفسیر می‌شود (Donaire et al., 2005) به عقیده ورنون (Vernon, 1983) ورود قطرات ماقمایی حد واسط دمای بالاتر به درون ماقمای فلزیک سرددتر، باعث سرعت بخشیدن به انجاماد ماقمای حد واسط، افزایش نرخ هسته سازی و به دنبال آن تشکیل بافت میکروگرانولار می‌شود. همین امر باعث می‌شود که با نزدیک شدن به محل همبry آنکلاو - سنگ میزبان، به دلیل افزایش نرخ سردشدنگی، اندازه بلورها نسبت به مرکز آنکلاو، کوچک‌تر باشد (Vernon, 1983, Kumar, 1995).

وجود مرز مضرس و زائددهدار در محل همبry آنکلاو - سنگ میزبان در مقیاس میکروسکوپی، بیانگر مذاب بودن آنکلاو در هنگام قرارگیری در مخزن ماقمایی و دلیلی بر اختلاط و آمیختگی ماقمایی تلقی Chen et al., 2002; Barbarin & Didier, 1991; Kumar et al., 2004; El Desouky et al., 1996 می‌شود.

بنابر عقیده پسکورا و پونز (Pesquera and Pons, 1989) ورود همزمان ماقمای فلزیک و حد واسط به درون یک مخزن ماقمایی و اختلاط آن‌ها با یکدیگر،

ماگمایی تلقی شود) (Vernon, 1990; Hibbard, 1991; Waight et al., 2000).

علاوه بر آن در اکثر موارد اتحال پلاژیوکلاز در قسمت‌های حاشیه‌ای و در برخی از کانی‌ها اتحال در قسمت درونی بلور نیز صورت پذیرفته است. اتحال حاشیه پلاژیوکلاز براثر عواملی چون افزایش ناگهانی درجه حرارت، کاهش فشار و یا افزایش میزان اکتیویته H_2O صورت می‌گیرد. ورود ماگمای حد واسط و یا بازیکتر به اتاق ماگمای اسیدی باعث افزایش دما، صعود سریع ماگما و در نتیجه کاهش فشار خواهد شد که همه این موارد با افت منحنی‌های سولیدوس و لیکیدوس همراه است (Vance, 1965; Castro, 2001). به طور کلی بر اثر اختلاط ماگمایی، کانی‌های کوارتز، فلدسپار پتاسیم و پلاژیوکلاز در ماگمای فلزیک به طور موقت ناپایدار شده و اتحال پیدا می‌کند (Hibbard, 1981; Vernon, 1990).

فرآیند اتحال و رشد دوباره در بلور پلاژیوکلاز موجب تشکیل زونینگ منقطع شده و یکی از شواهد اختلاط ماگمایی محسوب می‌شود (Barbarin, 1990; Vernon, 1990, 1991; Castro, 2001). سرد شدن نسبتاً سریع ماگمای حد واسط راه یافته به درون ماگمای اسیدی باعث جایگزینی مولفه‌های غنی از پتاسیم به جای قسمت‌های اتحال یافته پلاژیوکلاز می‌شود.

به عقیده بازی و آیرتون (Bussy & Ayrton, 1990) کوارتز اوسلی (Ocelli) نتیجه‌ای از انتقال شیمیایی زنوكربید کوارتز از سیستم اسیدی به مذاب حد واسط یا بازیک است و به علت ناپایداری کوارتز در ماگمای حد واسط و یا بازی در کناره‌های آن اتحال صورت می‌گیرد. این امر به طور موضعی سبب افزایش سرعت

است (Vernon, 1991; Baxter & Feely, 2002) بنابر نظریه کاسترو و همکاران (Castro et al., 1990) غالب مگاکربنیت‌ها در آنکلاوها، احتمالاً زنوكربید استهای متبلور شده در ماگمای سیلیسی میزبان هستند که توسط ماگمای سازنده آنکلاو به دام افتاده‌اند. بکستر و فلی (Baxter & Feely, 2002) وجود فنوکربنیت‌های فلدسپار پتاسیمی که نیمی از آن‌ها در داخل آنکلاو و نیمی دیگر در داخل سنگ میزبان قرار دارد را شاهدی بر تبلور فلدسپارپتاسیم در هنگام انتقال مکانیکی تلقی می‌کنند.

علاوه بر این، با توجه به تمرکز درشت بلورها در نزدیکی مرز همبوری آنکلاو - سنگ میزبان، به نظر می‌رسد، این بلورها از سنگ میزبان مشتق شده و موجب تغییر ترکیب شیمیایی آنکلاو به سمت مونزودیوریت شده باشند. بنا بر پیشنهاد باسی (Bussy, 1990) زنوكربید فلدسپار پتاسیم به محض قرارگیری در محیط جدیدی که دمای بیشتری دارد، ناپایدار شده، به طور موضعی از سطوح خارجی و به ندرت از درون دستخوش اتحال می‌شود. در این حالت حفرات حاصل از اتحال ممکن است با مواد زمینه آنکلاو پر شوند. وی حضور درشت بلور فلدسپار پتاسیم با حاشیه اتحالی در آنکلاو را دلیلی بر اختلاط ماگمایی تلقی می‌کند. به هر حال برخی از محققین حضور فلدسپار پوئی کیلیتیک را نشانه‌ای بر اختلاط ماگمایی در نظر می‌گیرند (Akal & Helvacı, 1999).

بر اساس نتایج آنالیز مایکروپروب، پلاژیوکلازها در آنکلاوها و سنگ میزبان علاوه بر منطقه بندی عادی، دارای منطقه بندی نوسانی نیز هستند. این ویژگی می‌تواند نشانه تغییر ترکیب جزئی ماگما در حین رشد بلور (Vernon, 2004) و به عنوان شاهدی از اختلاط

(Arslan & Aslan, 2006)، پلاژیوکلاز تیغه‌ای کوچک درون پلاژیوکلاز بزرگتر (Akal & Helvaci, 1999) و به طور کلی حضور بلورهای سوزنی، حاصل از انجاماد Bararin & Barbarin, 1992; Baxter & Feely, 2002 سریع مagma مافیک و یا حد واسط (Didier, 1992; Bussy, 1990) اشاره نمود.

بالا بودن میزان MgO , Fe_2O_3 , TiO_2 , MnO در آنکلاوهای در مقایسه با سنگ میزبان ناشی از فراوانی کانی‌های فرومینیزین آمفیبیول، بیوتیت و اکسیدهای آهن و تیتان بوده و میزان بالاتر Al_2O_3 و CaO به فراوانی پلاژیوکلاز در آنکلاو نسبت داده می‌شود (Bararin, 1992; Barbarin and Didier, 1992). فراوانی آپاتیت در آنکلاو به اشباع شدن magma از (Kumar, 1995). پایین بودن میزان K_2O , Rb و Ba در magma سازنده آنکلاو نسبت به سنگ میزبان، باعث محدودیت در تبلور فلدسپار پتابسیم شده است. زمانی که magma از شده اسیدی نفوذ می‌کند، چون قبلاً مقداری از پتابسیم magma اسیدی به دلیل تبلور بخشی آن، به درون شبکه کانی‌ها وارد شده و با کمبود پتابسیم موافق شده است، لذا مقداری از پتابسیم magma حد واسط به درون magma اسیدی انتشار یافته و با این عمل میزان پتابسیم magma آنکلاو کاهش می‌یابد (Sergi, 1997).

از سوی دیگر ممکن است، فراوانی بالای Na_2O و فراوانی انکلاو K_2O در آنکلاو به متفاوت بودن منشاء و یا شرایط تشکیل دو magma مرتبط باشد، به عبارتی ممکن است آنکلاو در محیطی متفاوت و یا در فشار H_2O بالاتر تشکیل شده باشد.

میزان بالای Nb و Y در آنکلاوهای به فراوانی مدار آمفیبیول و بیوتیت (Orsini et al., 1991) و کانی‌های فرعی اسفن و آپاتیت که به طور ترجیحی پذیرای این دو

سرد شدن و در پی آن افزایش سرعت هسته‌زایی شده که بدین ترتیب تجمعاتی از کانی‌های ریز بلور بازیک در اطراف بلور کوارتز متبلور می‌شود (Hibbard, 1991; Vernon, 1990; Baxter & Feely, 2002).

به علاوه بسیاری از محققان حضور لخته‌های magma بیوتیت و هورنبلند به همراه اسفن و کانی‌های اپک را یکی از شواهد بافتی بارز وقوع اختلاط magma قلمداد Barbarin and Didier, 1992; Baxter & Feely, 2002 می‌کنند (Didier & Barbarin, 1991; Barbarin & Didier, 1992). به علاوه بنا بر پیشنهاد برخی محققین (Frost & Mahood, 1987; Salonsaari, 1995; Karsli et al., 2007) بلور بیوتیت که توسط آمفیبیول احاطه شده است از شواهد اختلاط magma محسوب می‌شود. بلورهای پلاژیوکلاز دارای ادخال‌های آپاتیت سوزنی شکل هستند که شاید براثر فوق اشباع شدن موضعی و یا اختلاط magma پدید آمده‌اند (Hibbard, 1991). به عقیده Sparks & marshall, 1986) فراوانی آپاتیت سوزنی نسبت به آپاتیت منشوری کوتاه و پهن، نشانه اختلاط یا آمیختگی magma است. اسپارک و مارشال (Hibbard, 1991) نیز معتقدند که آپاتیت سوزنی در نتیجه آمیختگی magma بازیک با magma فلزیک سردرت حاصل می‌شود. به هر حال بسیاری از محققان، انکلوزیون‌های آپاتیت سوزنی را بلورهای magma اولیه در نظر می‌گیرند و احتمال رستیت بودن آن‌ها را در گرانیتوئیدها ناچیز می‌دانند (Chappell et al., 1987; Dorais et al., 1997; Debon, 1991; Hibbard, 1991; Chen et al., 1989; Bacon, 1989).

علاوه بر شواهد فوق، بافت‌های دیگری که دلالت بر فرآیند اختلاط یا آمیختگی magma دارند نیز در نمونه‌ها یافت می‌شوند که از آن جمله می‌توان به حضور فلدسپار آنتی راپاکی ویک (Debon, 1991; Hibbard, 1991; Bacon, 1989).

کوچک در مقایسه با انواع درشت‌تر، سریع‌تر سرد می‌شوند و در نتیجه سیستم تقریباً بسته‌ای را نسبت به غنی شدگی از عناصر آلکالی، HFSE و REE LILE تشکیل می‌دهند (Barbarin & Didier, 1992).

در الگوی تغییرات عناصر کمیاب نرمالایز شده به گوشته اولیه، فراوانی کم Th, Ba, Rb, Cs و K و مقادیر زیادتر Sm, Tb, Y, Tm, Ti و Yb آنکلاوهای نسبت به سنگ میزبان قابل ملاحظه است. در نمودار تغییرات عناصر نادر خاکی که نسبت به کندریت نرمالایز شده‌اند تفاوت بارزی بین آنکلاوهای سنگ میزبان مشاهده می‌شود، به طوری که فراوانی زیاد HREE و فراوانی کم LREE در آنکلاوهای نسبت به سنگ میزبان از نمود ویژه‌ای برخوردار است.

بنابراین به نظر می‌رسد آنکلاوهای سنگ میزبان از دو ماقمای متفاوت مشتق شده باشند. چنانچه در شکل ۱۸ - ملاحظه می‌شود، گرانودیوریت‌ها از LREE غنی و از HREE تهی هستند، در حالی که آنکلاوهای از HREE بالاتری نسبت به LREE برخوردار بوده و در بالای خط میانگین ترکیب پوسته زیرین قرار گرفته‌اند. همان طور که می‌دانیم، بر اثر ذوب بخشی سنگ‌های پوسته زیرین، عناصر LREE وارد مذاب می‌شوند، در حالی که عناصر HREE تمایلی برای ورود به مذاب ندارند و بنابراین مذاب حاصله از LREE غنی و از HREE تهی می‌شود.

براین اساس احتمال مشتق شدن ماقمای تشکیل دهنده گرانودیوریت‌ها از پوسته زیرین دور از انتظار نیست، در صورتی که فراوانی بالای REE در آنکلاوهای نسبت به میانگین ترکیب پوسته زیرین و غنی شدگی از HREE نسبت به LREE در آنکلاوهای منشاء گوشته‌ای را برای آنکلاوهای تداعی می‌کند.

Sparks (et al., 1977) در پی تزریق ماقمای حد واسط به بخش تحتانی یک مخزن ماقمای گرانیتوئیدی و ورود قطرات کانی‌های مافیک به داخل مخزن، تعادل حرارتی مخزن به هم خورده و فرآیند انتشار نقش موثری در تغییر ترکیب شیمیایی در ماقما بازی می‌کند، به طوری که آنکلاوهای از عناصری مانند Y, Nb و HREE غنی و از عناصر Ba و Rb تهی می‌شوند (Tindle, 1991). فراوانی تقریباً برابر عناصر Cr, Ni و Co در دو ماقما بیانگر این نکته است که سنگ‌های توده نفوذی نمی‌توانند از کانی‌های مافیک سازنده آنکلاو مشتق شده و یا این که آنکلاو بخش انجامد سریع و زودتر تبلور یافته توده نفوذی باشد، چرا که این عناصر در طول تفریق و یا ذوب بخشی به شدت تهی می‌شود.

Ryerson & Hess (Hess, 1978) نشان داد که اختلاط جزئی دو ماقما باعث افزایش P, Ti, HREE, Y و Nb در آنکلاو می‌شود. به نظر می‌رسد این امر ناشی از انتشار ترجیهی ماقمای کمتر پلیمریزه (Nardi & Lima, 2000) و جایگیری عناصر کم تحرک فوق در داخل شبکه کانی‌هایی مانند آپاتیت، اسفن و هورنبلند باشد (Klein et al., 1997). به اعتقاد باربارین و دیدیه (Barbarin & Didier, 1992)، میزان انتقال عناصر بین دو ماقمای سازنده آنکلاو و سنگ میزبان به وضوح تابع اندازه آنکلاوهای است. آنکلاوهای با اندازه ۸-۱۰ سانتی‌متر، همبry نامنظمی با سنگ میزبان داشته، دانه ریزتر هستند و به سمت ترکیبات دیوریتی تمایل می‌شوند.

در حالی که آنکلاوهای با ابعاد بیش از ۲۰ سانتی‌متر، شکل کم و بیش کروی داشته، دانه درشت‌تر بوده و اکثرًا کوارتز دیوریتی و مونزودیوریتی هستند. آنکلاوهای

پلاژیوکلاز در داخل آنکلاوهای دلیلی بر منشاء آذرین آنها است. شواهدی از قبیل حضور مگاکریستهای فلدسپار پتاسیم که حاوی انکلوزیون‌هایی از کانی‌های پلاژیوکلاز، بیوتیت، آمفیبول و کانی‌های فرعی دیگر هستند؛ چشم‌های کوارتز که کانی‌های دما بالای ریز بلور پلاژیوکلاز، بیوتیت و آمفیبول به طور زونه در حاشیه آنها قرار گرفته‌اند؛ گرد شدگی، خوردگی و تحلیل رفتگی پلاژیوکلازها؛ بافت پوئی‌کیلیتیک کوارتز و فلدسپار پتاسیم، لخته‌های مافیک متتشکل از آمفیبول، بیوتیت، اسفن و ماقنیتیت؛ آپاتیت سوزنی؛ بافت آنتی‌رپاکی‌وی؛ تیغه‌های پلاژیوکلاز کوچک درون پلاژیوکلازهای بزرگتر همگی دلالت بر فرآیند آمیختگی ماقمایی دارند.

نتایج آنالیزهای مایکروپروب بر روی پلاژیوکلازهای آنکلاوهای و سنگ در بر گیرنده، حاکی از آن است که در برخی موارد این بلورها زونینگ نوسانی نشان داده و حتی گاهی به طور بخشی انحلال پیدا کرده و توسط آلکالی فلدسپار جایگزین شده‌اند که این موارد نیز موید فرآیند آمیختگی ماقمایی است.

آنکلاوهای از لحاظ ژئوشیمیایی، ویژگی‌های متفاوتی را نسبت به سنگ میزبان خود عرضه می‌نمایند، به طوری که سنگ‌های گرانیتوئیدی، نسبتاً غنی از پتاسیم ولی آنکلاوهای سدیم‌دار هستند و حتی الگوی پراکنده‌گی عنصر کمیاب آنها بر روی نمودارهای عنکبوتی روندهای متفاوتی را نشان می‌دهد.

بر اساس شواهدی چون، تهی شدگی نسبی آنکلاوهای از عناصر LREE و HREE در نمودارهای نرم‌الایز شده به کندریت و غنی شدگی از عناصر HREE نسبت به LREE در الگوی تغییرات عناصر نادر خاکی نرم‌الایز شده به پوسته زیرین

بر اساس مطالعات زمین‌شناسی و پتروگرافی، توده نفوذی کوهدم از جمله توده‌های نفوذی کم عمقی محسوب می‌شود که در ترازهای فوقانی پوسته جایگزین شده است. در توده‌های نفوذی کم عمق، معمولاً حجم ماقمای اسیدی بیشتر از ماقمای مافیک و حدواتسط است، لذا در اثر اختلاط آنها، کانی‌های مافیک به صورت حباب‌هایی درون ماقمای فلزیک پراکنده می‌شود (Vernon, 1983; Sparks & Marshal, 1986). به عقیده باربارین (Barbarin, 2005) در صورتی که ماقمای مافیک و حدواتسط قبل از تبلور ماقمای فلزیک به درون آن نفوذ کند، اختلاط ماقمایی صورت می‌گیرد، در حالی که اگر بعد از تبلور بخشی ماقمای فلزیک با آن مواجه شود به دلیل افزایش ویسکوزیته ماقمای میزبان، به شکل حباب‌هایی درون آن پراکنده می‌شود.

نتیجه‌گیری

مطالعات صحرایی، پتروگرافی، ژئوشیمیایی و بررسی اختصاصات شیمیایی کانی‌های تشکیل دهنده آنکلاوهای میکروگرانولار مافیک و توده گرانیتوئیدی میزبان آنها در منطقه کوهدم به شواهدی منجر شده که دلالت بر آمیختگی ماقمایی دارد. در این منطقه، توده گرانیتوئیدی کوهدم، با ترکیب مونزوگرانیت، گرانودیوریت و مونزونیت کوارتزدار، میزبان آنکلاوهای میکروگرانولار مافیک مونزونیتی، مونزودیوریتی و دیوریتی کوارتزدار است. آنکلاوها بیشتر کروی بوده و اندازه آنها از چند میلی‌متر تا ۳۰ سانتی‌متر متغیر است.

مرز همبری آنها با گرانودیوریت‌های میزبان در مقیاس نمونه دستی غالباً مشخص و در مقیاس میکروسکوپی کنگره‌ای و زائده‌دار است. وجود فنوکریستهای خود شکل و ماکل دار یا زونینگ دار

- 4- B., Barbarin: Plagioclase xenocrysts and mafic magmatic enclaves in some granitoids of the Sierra Nevada Batholith, California. *Journal of Geophysical Research.* 95: 17747–17756; (1990).
- 5- Barbarin B., Didier J.: Conclusions. In: Didier J, Barbarin B(eds) *Enclaves and granite petrology.* Elsevier, Amsterdam, 545–549.(1991).
- 6- B., Barbarin J., Didier: Genesis and evolution of mafic microgranular enclaves through various types of interaction between coexisting felsic and mafic magmas. *Transactions of the Royal Society of Edinburgh-Earth Sciences.* 83: 145–153; (1992).
- 7- B., Barbarin: Mafic magmatic enclaves and mafic rocks associated with some granitoids of the central Sierra Nevada batholith, California: nature, origin, and relations with the hosts, *Lithos.* 80: 155– 177; (2005).
- 8- S., Baxter, M., Feely: Magma mixing and mingling textures in granitoids: examples from the Galway Granite, Connemara, Ireland. *Mineralogy and petrology.* 76: 63-74; (2002).
- 9- F., Bussy: The rapakivi texture of feldspars in the plutonic mixing environment: a dissolution-recrystallization process. *Geological journal.* 25: 319-324; (1990).
- 10- F., Bussy and S., Ayrton,: Quartz textures in dioritic rocks of hybrid origin. *Schweizerische Mineralogische und Petrographische Mitteilungen.* 70: 223–235; (1990).
- 11- A., Castro, I., Moreno-Ventas De La Rosa J.: Microgranular enclave as indicators of hybridization processes in granitoid rocks, Hercynian belt, Spain. *Geological Journal.* 25: 391-404; (1990).
- 12- A., Castro, I., Moreno-Ventas J.D., De La Rosa: Multistage crystallization of tonalitic enclaves in granitoids rocks(Hercinian Belt, Spain): implications for magma mixing. *Geologische Rundschau.* 80: 109–120; (1991).

که دقیقاً بر خلاف الگوی تغییرات عناصر کمیاب سنگ‌های میزبان است و می‌توان اذعان داشت که دو ماقمای سازنده آنکلاوها و سنگ‌های میزبان از دو منشاء متفاوت با یکدیگر مواجه شده و به دلیل تفاوت‌های فیزیکی و شیمیایی قابل توجه نتوانسته‌اند به طور کامل با یکدیگر اختلاط پیدا کنند و از این رو قطرات کانی‌های کم حجم مافیک به شکل حباب‌هایی درون ماقمای اصلی فلزیک پراکنده شده است.

قدرتانی

این پژوهش در قالب طرح تحقیقاتی مصوب دانشگاه تهران به شماره ۶۱۰۵۰۲۶/۶۰۳ تحت عنوان "پترولوژی و ژئوشیمی توده نفوذی کوهدم(شمال اردستان)" انجام شده است که بدینوسیله از حوزه معاونت پژوهشی دانشگاه تهران و حوزه معاونت پژوهشی پردیس علوم تشكیر و قدردانی می‌شود. همچنین از سرکار خانم دکتر طهماسبی که نقش ارزنده‌ای در تکمیل آنالیزهای این مقاله بر عهده داشتند، سپاسگزاری می‌شود.

منابع

- 1- C., Akal C., Helvacı: Mafic Microgranular Enclaves in the Kozak Granodiorite, Western Anatolia. *Journal of Earth Science.* 8: 1–17; (1999).
- 2- M., Arslan Z., Aslan: Mineralogy, petrography and whole-rock geochemistry of the Tertiary granitic intrusions in the Eastern pontides, Turkey. *Journal of Asian Earth Science.* 27: 177-193; (2006).
- 3- C.R., Bacon: Crystallization of accessory phases in magmas by local saturation adjacent to phenocrysts. *Geochim Cosmochim Acta.* 53: 1055–1066; (1989).

- 22- Donaire T., Pascual E., Pin C., Duthou J-L.: Microgranular enclave as evidence of rapid cooling in granitoid rocks: the case of the Los Pedroches granodiorite, Iberian Massif, Spain. Contribution to Mineralogy and Petrology. 149: 247-265.(2005).
- 23- Dorais M.J., Lira R., Chen Y., Tingey D.: Origin of biotite-apatite-rich enclaves, Achala batholith, Argentina. Contribution to Mineralogy and Petrology. 130: 31-46.(1997).
- 24- El Desouky M., Feely M., Mohr P.: Diorite-granite magma mingling and mixing along the axis of the Galway Granite batholith, Ireland. Journal of the Geological Society. 153: 361-374.(1996).
- 25- Elburg M.A.: U-Pb ages and morphologies of zircon in microgranitoid enclaves and peraluminous host granites: evidence for magma mingling. Contribution to Mineralogy and Petrology. 123: 177-189.(1996).
- 26- Fershtater G.B., Borodina N.S.: Enclave in the Hercynian granitoids of the Urals Mountains, U.S.S.R. In: Didier J, Barbarin B(eds) Enclaves and granite petrology. Elsevier, Amsterdam, 83-94.(1991).
- 27- Forster M.D.: Interpretation of the composition of tri octahedral mica, U.S Geological Survey. Prof. Pap. 354B: 1-48.(1960).
- 28- Frost T.P., Mahood G.A.: Field, chemical, and physical constraints on mafic-felsic magma interaction in the Lamark Granodiorite, Sierra Nevada, California. Geological Society of America Bulletin. 99: 272-291.(1987).
- 29- Harker A.: The natural history of igneous rocks. Methneu, London. 344p.(1909).
- 30- Hibbard N.J.: The magma mixing origin of mantled feldspars. Contributions to Mineralogy and Petrology. 76: 158-170.(1981).
- 31- Hibbard N.J.: Textural anatomy of twelve magma-mixed granitoid systems. In: Didier j. Barbarin B.
- 13- A., Castro: Plagioclase morphologies in assimilation experiments. Implications for disequilibrium melting in the generation of granodiorite rocks. Mineralogy and Petrology. 71: 31-49; (2001).
- 14- B., Chappell W.: Magma mixing and the production of compositional variation within granite suites: Evidence from the granites of southeastern Australia. Journal of petrology. 37: 449-470; (1996).
- 15- B.W, Chappell, A.J.R., White, D., Wyborn: The importance of residual source material(restite) in granite petrogenesis. Journal of Petrology. 28: 1111-1138; (1987).
- 16- Y., Chen, B.W., Chappell, A.J.R., White: Mafic enclave of some I-type granites of the Palaeozoic Lachlan Fold Belt, southeastern Australia. In: Didier J, Barbarin B(eds) Enclaves and granite petrology. Elsevier, Amsterdam, 113-124; (1991).
- 17- B., Chen, B-M., Jahn, C., Wei: Petrogenesis of Mesozoic granitoids in the Dabie UHP complex, Central China: trace element and Nd-Sr isotope evidence. Lithos. 60: 67-88; (2002).
- 18- Y.D., Chen, R.C., Price, A.J.R., White: Inclusions in three S-type granites from southeastern Australian Journal of Petrology. 30: 1181-1218; (1989).
- 19- Debon F.: Comparative major element chemistry in various "microgranular enclave-plutonic host" pairs. In: Didier J, Barbarin B(eds) Enclaves and granite petrology. Elsevier, Amsterdam, 293-312.(1991).
- 20- Deer W.A., Howie R.A., Zussman J.: An introduction to the rock forming minerals. 17th, Longman Ltd, 528 p.(1991).
- 21- Didier J., Barbarin B,: The different types of enclaves in granites-nomenclature. In: Didier, J., Barbarin, B.(Eds.), Enclaves and Granite Petrology, Developments in Petrology, vol. 13. Elseiver, Amsterdam, 19-24.(1991).

- granite petrology. Elsevier, Amsterdam, 95-112; (1991).
- 39- L.V.S., Nardi de E.F., Lima, Hybridisation of mafic microgranular enclaves in the Lavras Granite Complex, southern Brazil. *Journal of South American Earth Sciences*. 13: 67-78; (2000).
- 40- J.B., Orsini, C., Cocirita, M.J., Zorpi: Genesis of mafic microgranular enclaves through differentiation of basic magmas, mingling and chemical exchanges with their host granitoid magmas, In: Didier J, Barbarin B(eds) *Enclaves and granite petrology*. Elsevier, Amsterdam, 445-476; (1991).
- 41- D., Perugini, G., Poli, G., Christofides, G., Eleftheriadis,: Magma mixing in the Sithonia Plutonic Complex, Greece: evidence from mafic microgranular enclaves. *Mineralogy and Petrology*. 78: 173–200; (2003).
- 42- A., Pesquera, J., Pons Field evidence of magma mixing in the Aya granitic massif(Basque Pyrenees, Spain). *Neues Jahrbuch fur Geologie und Palaontologie-Monatshefte*. 10: 441–454; (1989).
- 43- F.J., Ryerson, P.C., Hess Implications of liquid-liquid distribution coefficients to mineral-liquid partitioning. *Geochimica et Cosmochimica Acta*. 42: 921-932; (1978).
- 44- P.T., Salonsaari Hybridization in the subvolcanic Jaala–Iitti complex and its petrogenetic relation to rapakivi granites and associated mafic rocks of southeastern Finland. *Geological Society of Finland Bulletin* 67:(1b), 104; (1995).
- 45- Sergi A.: Mafic microgranular enclaves from the Xanthi pluton(Northern Greece): an example of mafic-felsic magma interaction. *Mineralogy and Petrology*. 61: 97-117.(1997).
- 46- M.M.V.G., Silva, A.M.R., Neiva, M.J., Whitehouse Geochemistry of enclaves and host granites from the Nelas area, central Portugal. *Lithos* 50: 153–170; (2000).
- 1991: Enclaves and granite petrology. Elsevier, Amsterdam, 431-441.(1991).
- 32- M.J., Hibbard: *Petrography to Petrogenesis*. Prentice- Hall, 587p; (1995).
- 33- O., Karsli, B., Chen F., Aydin C., Şen: Geochemical and Sr–Nd–Pb isotopic compositions of the Eocene Dölek and Sarıcıçek Plutons, Eastern Turkey: Implications for magma interaction in the genesis of high-K calc-alkaline granitoids in a post-collision extensional setting. *Lithos*. In press; (2007).
- 34- M., Klein H.G., Stosch H.A., Seck: Partitioning of high field strength and rare-earth elements between amphibole, and quartz dioritic to tonalitic melts: an experimental study. *Chemical Geology*. 138:257–271; (1997).
- 35- S., Kumar: Microstructural evidence of magma quenching inferred from enclaves hosted in the Hodruša granodiorites, Western Carpathians. *Geological Carpathica*. 46:379–382; (1995).
- 36- S., Kumar, V., Rino, A.B., Pal, Field evidence of magma mixing from microgranular enclaves hosted in Palaeoproterozoic Malanjkhand granitoids, central India. *Gondwana Research*. 7:539–548; (2004).
- 37- B.E., Leake, A.R., Woolly, C.E.S., Arps, W.D., Birch, M.C., Gilbert, J.D., Grice F.C., Hawthorne, A., Kato, H.J., Kisch, V.G., Krivovichev, K., Linthout, J., Laird, J., Mandarino, W.V., Maresch, E.h., Nickel, N.M.S., Rock, J.C., Schmucher, D.C., Smith, N.C.N., Stephenson, L., Unungaretti, E.J.W., Whittaker, G., Youzhi: Nomenclature of Amphiboles. Report of the Subcommittee on Amphiboles of the International Mineralogical Association Commission on New Minerals Names, *Europian Journal of Mineralogy*. 9: 623-651; (1997).
- 38- S., Liankun, Y., Kuirong, A two-stage crust-mantle interaction model for mafic microgranular enclaves in the Donging granodiorite Pluton, Guangxi, China. In: Didier J, Barbarin B(eds) *Enclaves and*

- 54- O.F., Tuttle, N.L., Bowen, Origin of granite in the lights of experimental studies in the system NaAlSi₃O₈-NaAlSi₃O₈-SiO₂-H₂O. Geological Society of America Bulletin. 74: 153p, (1958).
- 55- J.A., Vance Zoning in igneous plagioclase: patchy zoning. Journal of Geology. 73: 636– 651; (1965).
- 56- R.H., Vernon Restite, Xenoliths and microgranitoid enclave in granites. Journal and Proceeding of the Royal Society of New South Wales. 116: 77-103; (1983).
- 57- R.H., Vernon K-feldspar megacrysts in granites-phenocrysts, not porphyroblasts. Earth Science Review. 23: 1-63; (1986).
- 58- R.H., Vernon Crystallization and hybridism in microgranular enclave magmas: Microstructural Evidence. Journal of Geophysical Research. 95: 17.849-17.859; (1990).
- 59- R.H., Vernon Interpretation of microstructures of microgranitoid enclaves In: Didier J, Barbarin B(eds) Enclaves and granite petrology. Elsevier, Amsterdam, 277–291; (1991).
- 60- R.H., Vernon A practical guide to Rock Microstructural, Cambridge, 594p; (2004).
- 61- T.E., Waight, R., Maas, I.A., Nicholls Fingerprinting feldspar phenocrysts using crystal isotopic composition stratigraphy: implications for crystal and magma mingling in S-type granites. Contribution to Mineralogy and Petrology. 139: 227–239; (2000).
- 47- R.S.J., Sparks, L., Marshal Thermal and mechanical constraints on mixing between mafic and silicic magmas. Journal of Volcanology and Geochemical Research. 29: 99-124; (1986).
- 48- R.S.J., Sparks, H., Sigurdsson, L., Wilson Magma mixing: a mechanism for triggering acid explosive eruptions. Nature. 267: 315-318; (1977).
- 49- W.E., Stephens, P., Holden, P.J.: Henny Microdioritic enclaves within the Scottish Caledonian granitoids and their significance for crustal magmatism, In: Didier J, Barbarin B(eds) Enclaves and granite petrology. Elsevier, Amsterdam, 125-134; (1991).
- 50- S.S., Sun W.F., McDonough Chemical and isotopic systematics of oceanic basalts: implications for mantle composition and processes. In: for mantle processes. Saunders, A.D., Norrey, M.J.(eds.), Magmatism in the Ocean Basins. Geol. Soc. London Spec. Publ. 42: 313-345; (1989).
- 51- S.R., Taylor, S.M., McLennan The continental crust: its compositions and evolution. Blackwell, Oxford, 27–72, (1985).
- 52- Technoexport Company: Detail geology prospecting in the Anarak Area Central Iran. Geological Survey of Iran, Report No, 9. 154p, (1981).
- 53- A.G., Tindle Trace element behaviour in microgranular enclaves from granitic rocks, In: Didier J, Barbarin B(eds) Enclaves and granite petrology. Elsevier, Amsterdam, 313-331; (1991).